

1/37

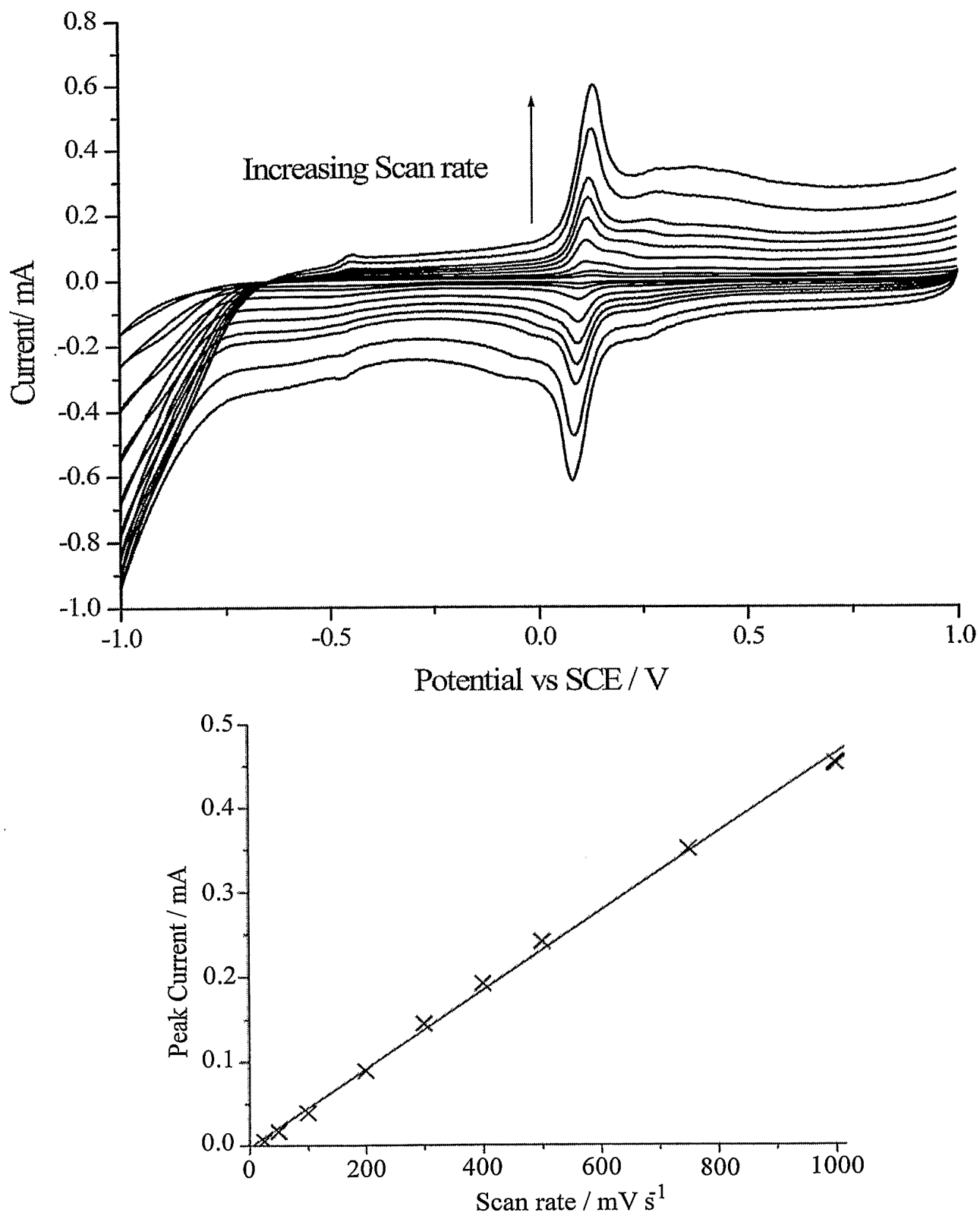


Fig 1

2/37

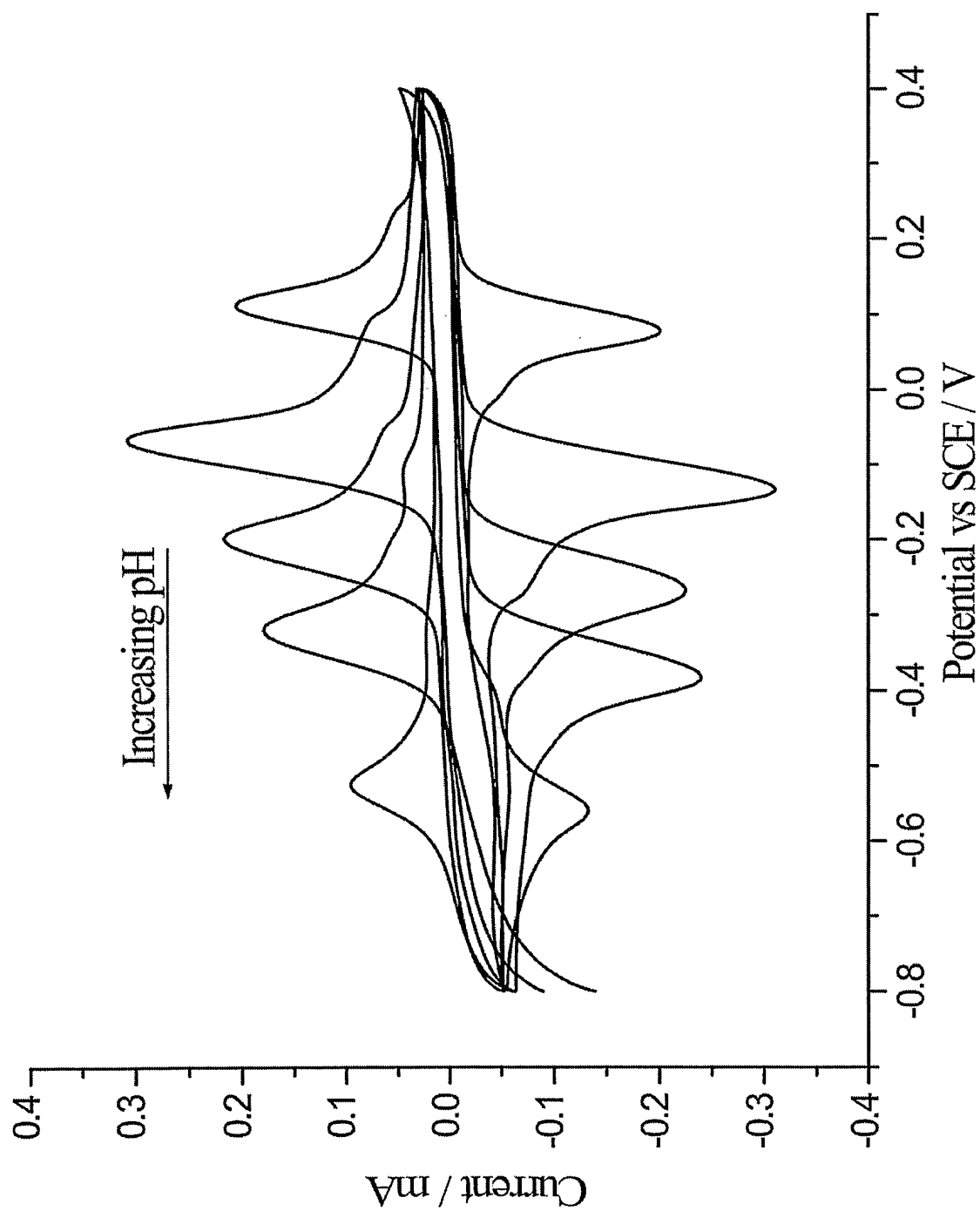


Fig. 2

3/37

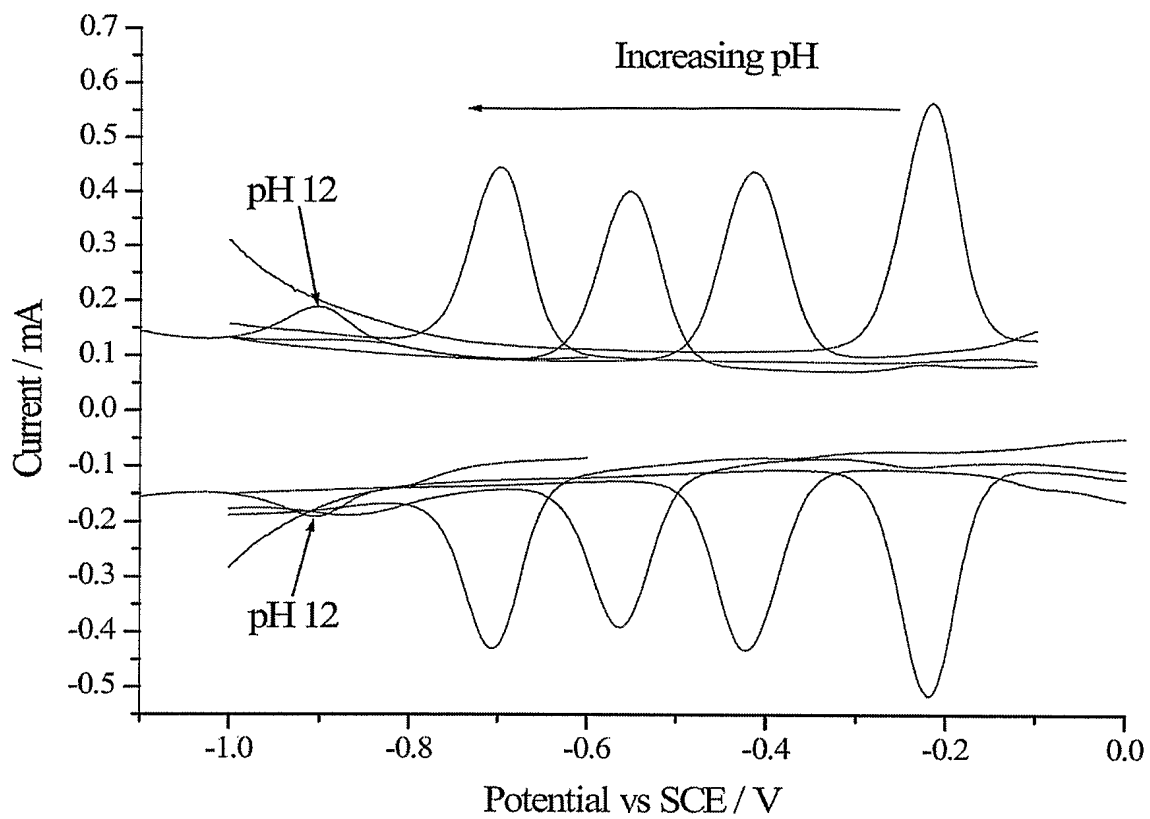


Fig. 3a

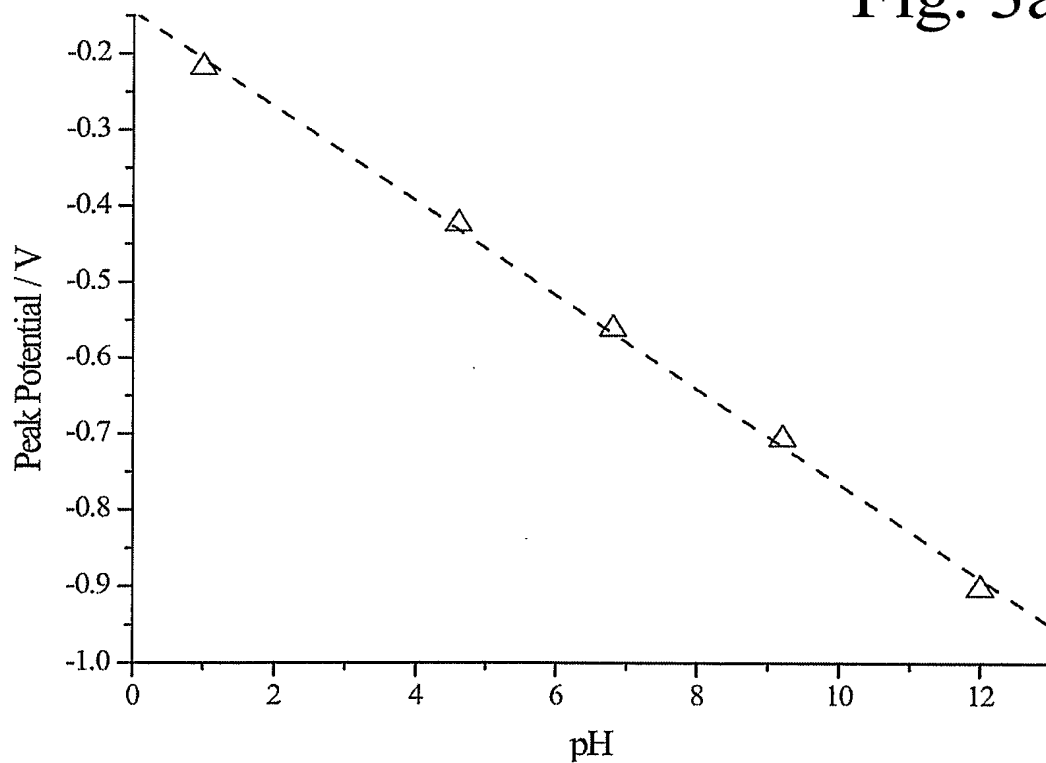


Fig. 3b

4/37

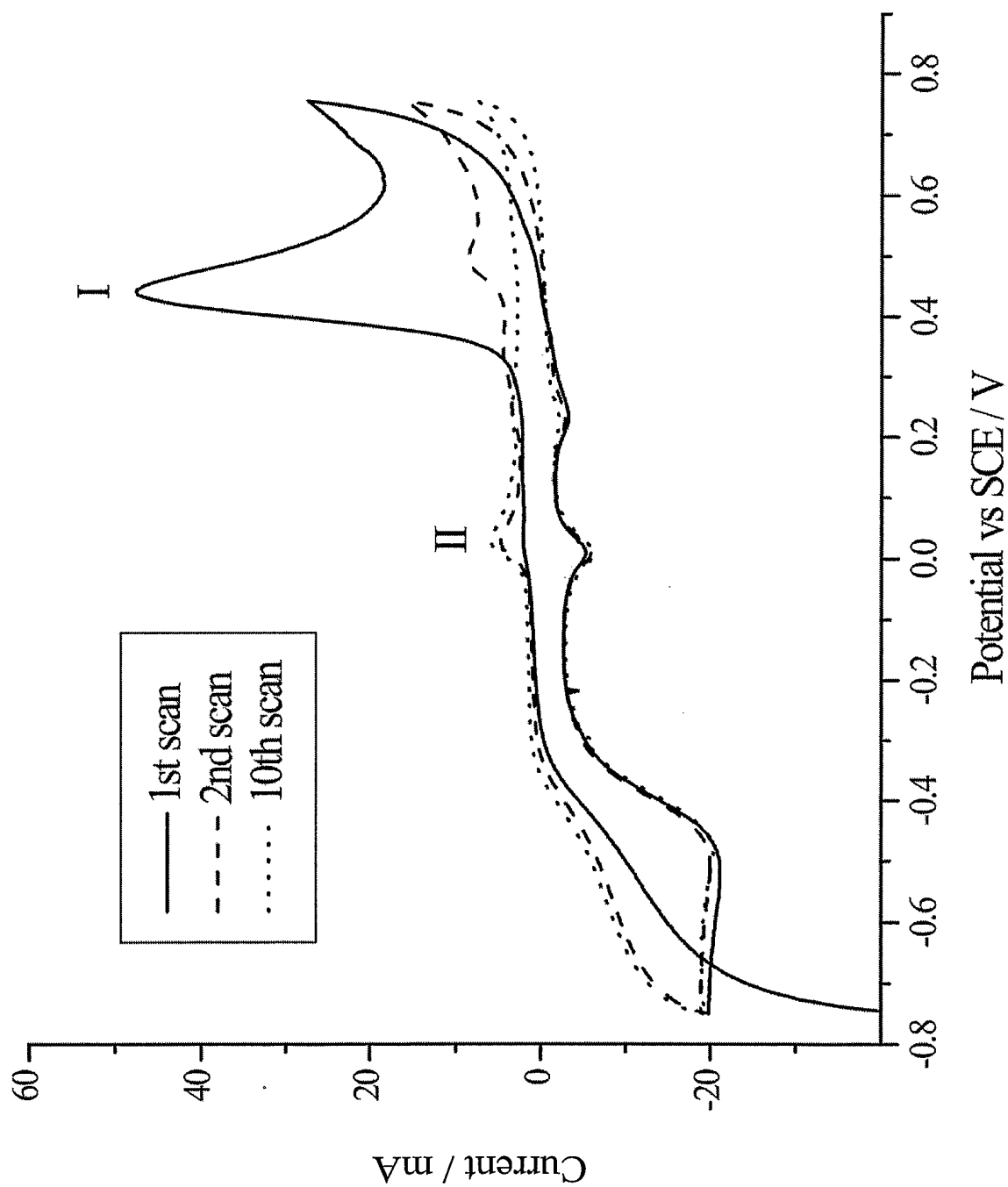


Fig. 4

5/37

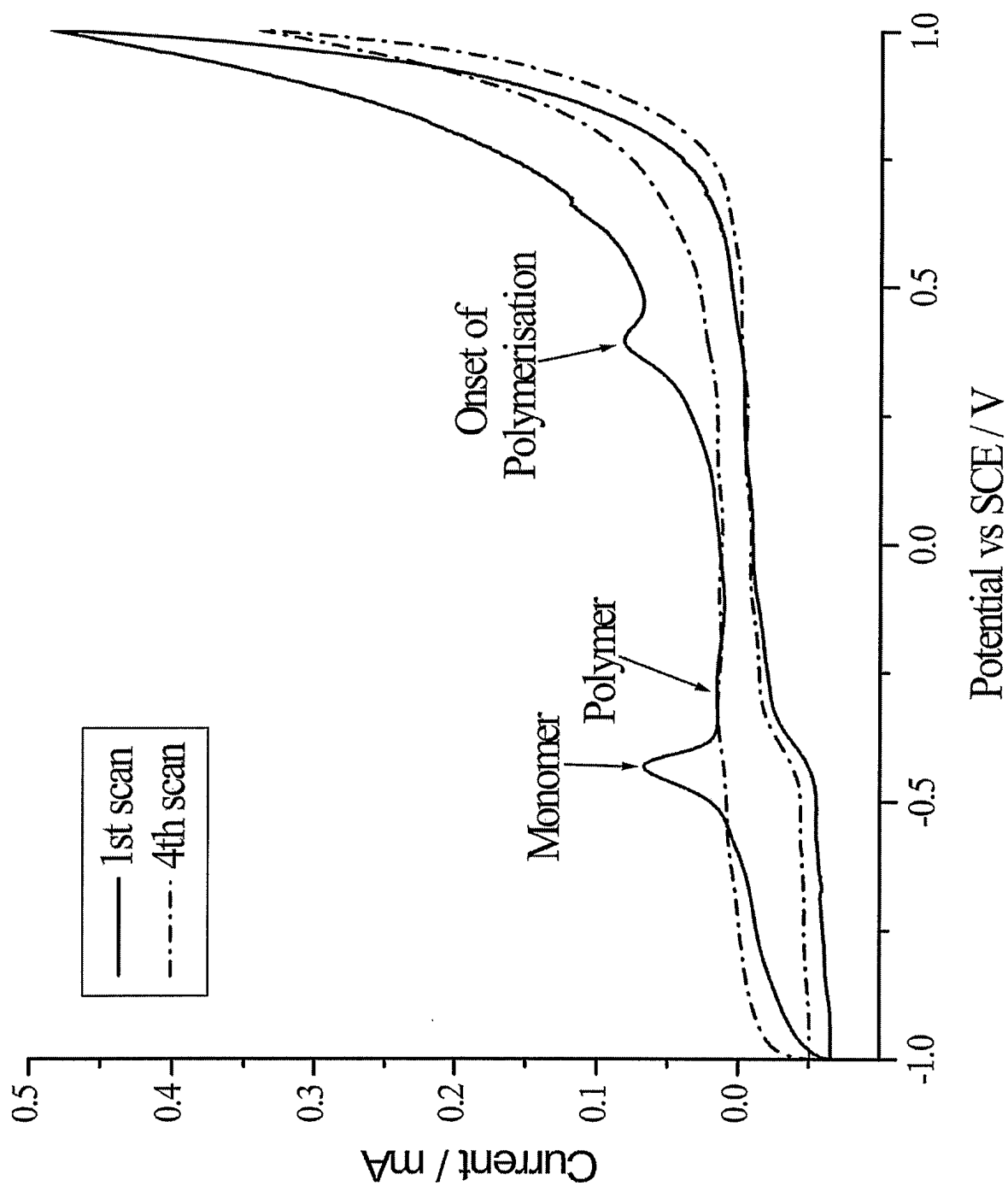


Fig. 5

6/37

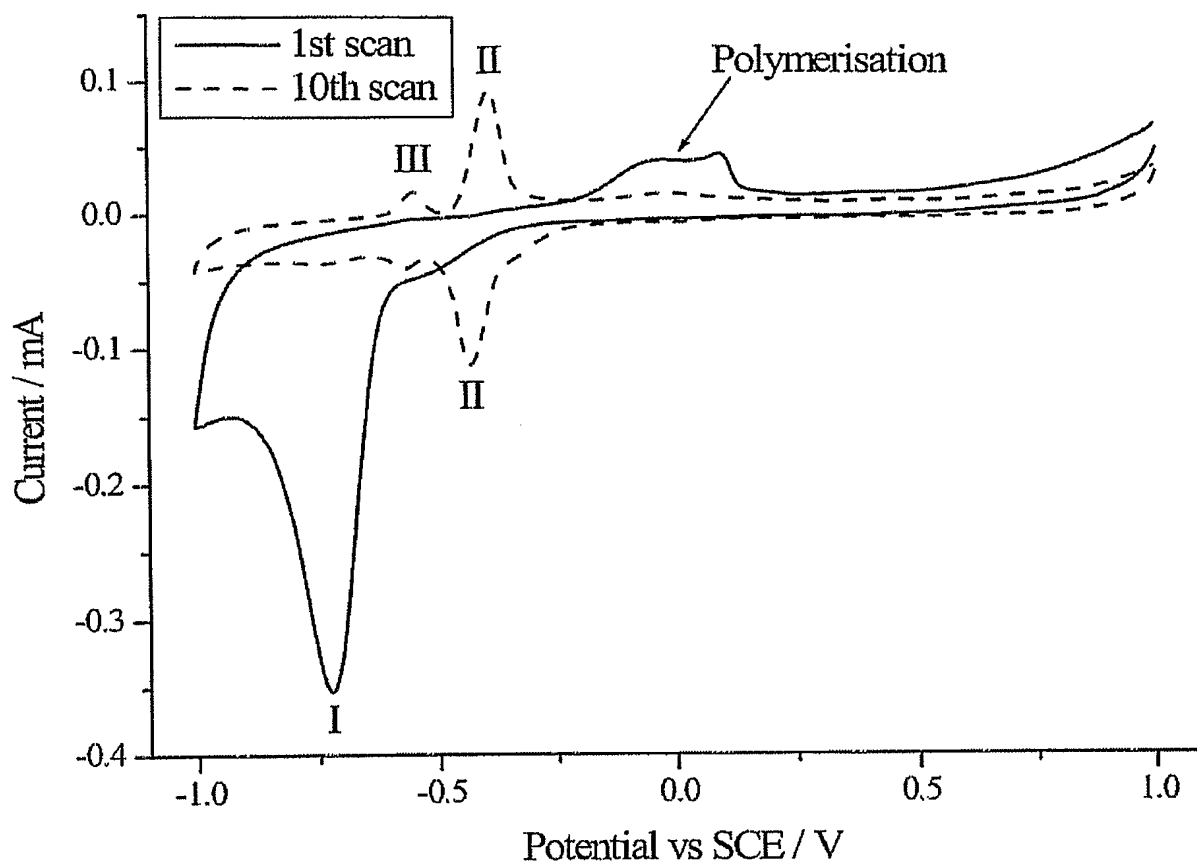
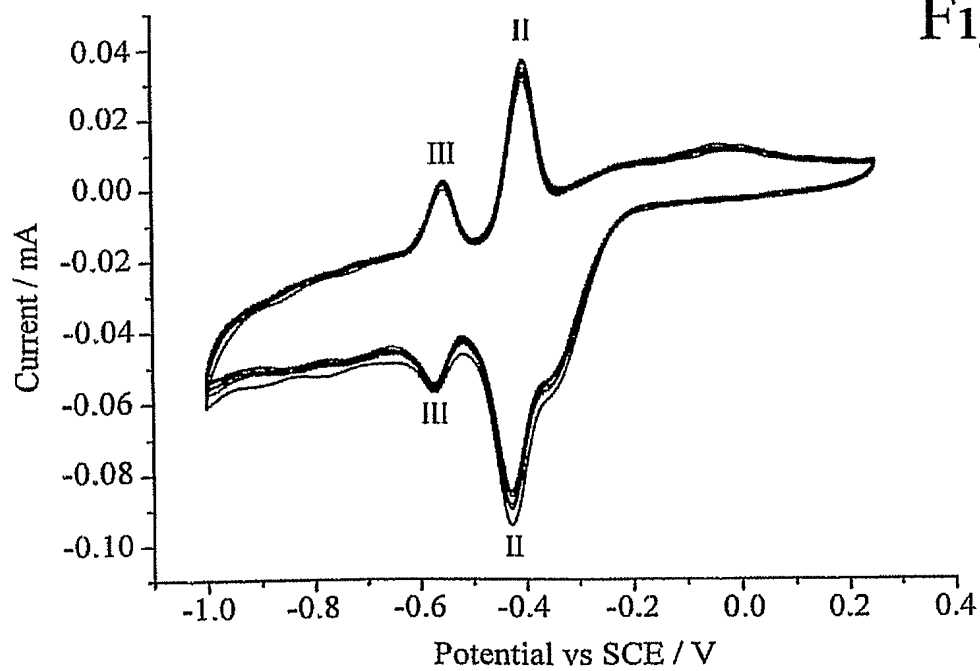


Fig. 6



7/37

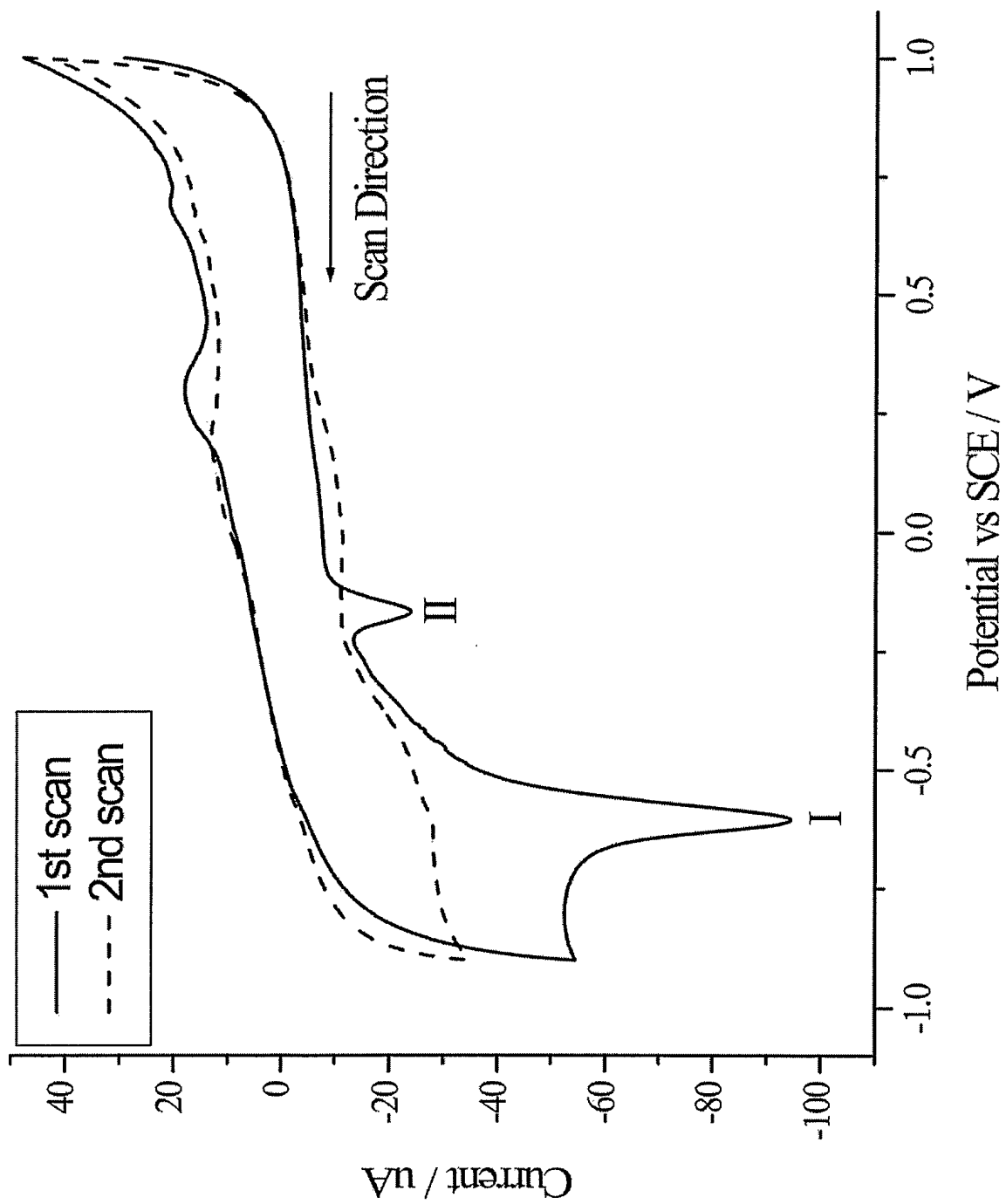


Fig. 7

8/37

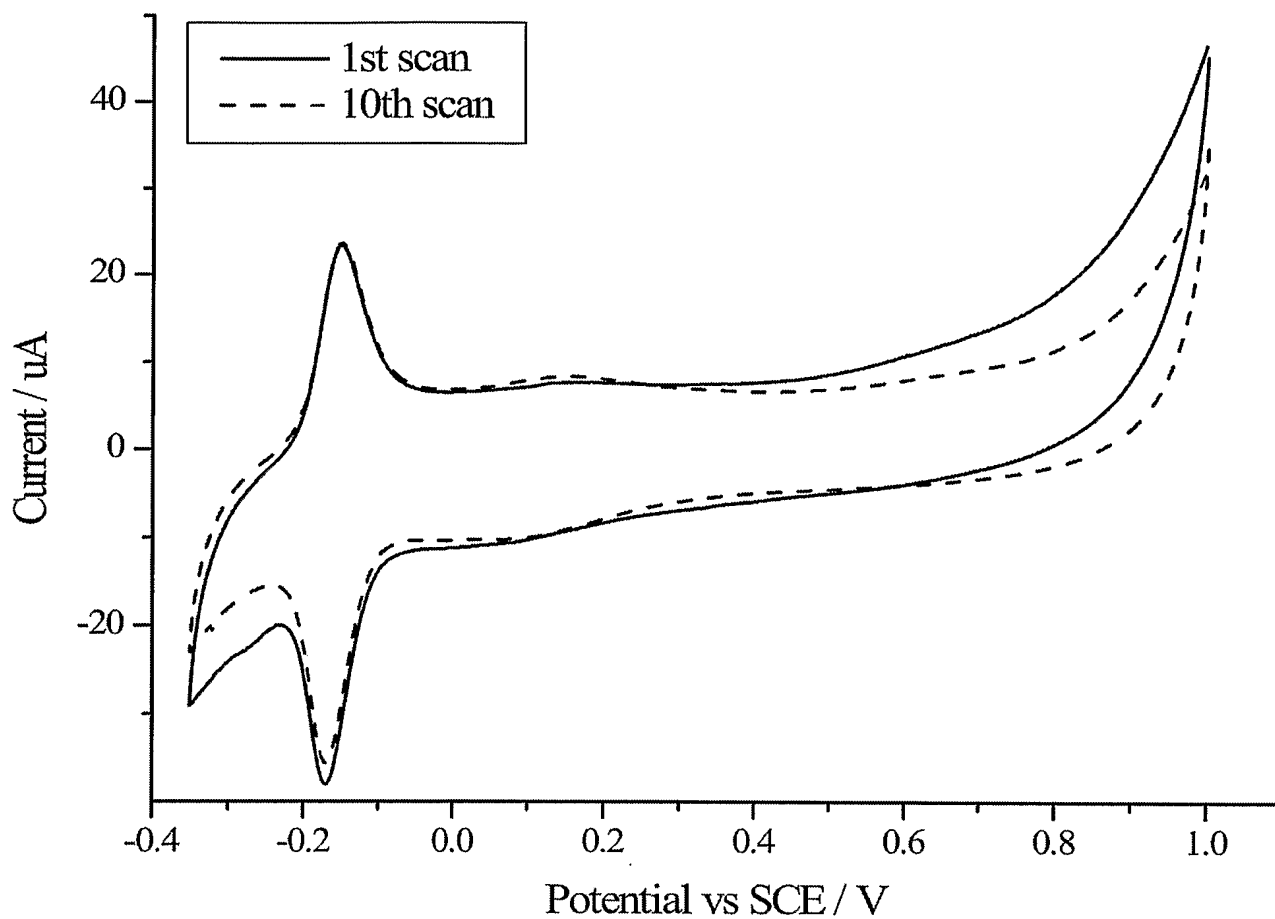
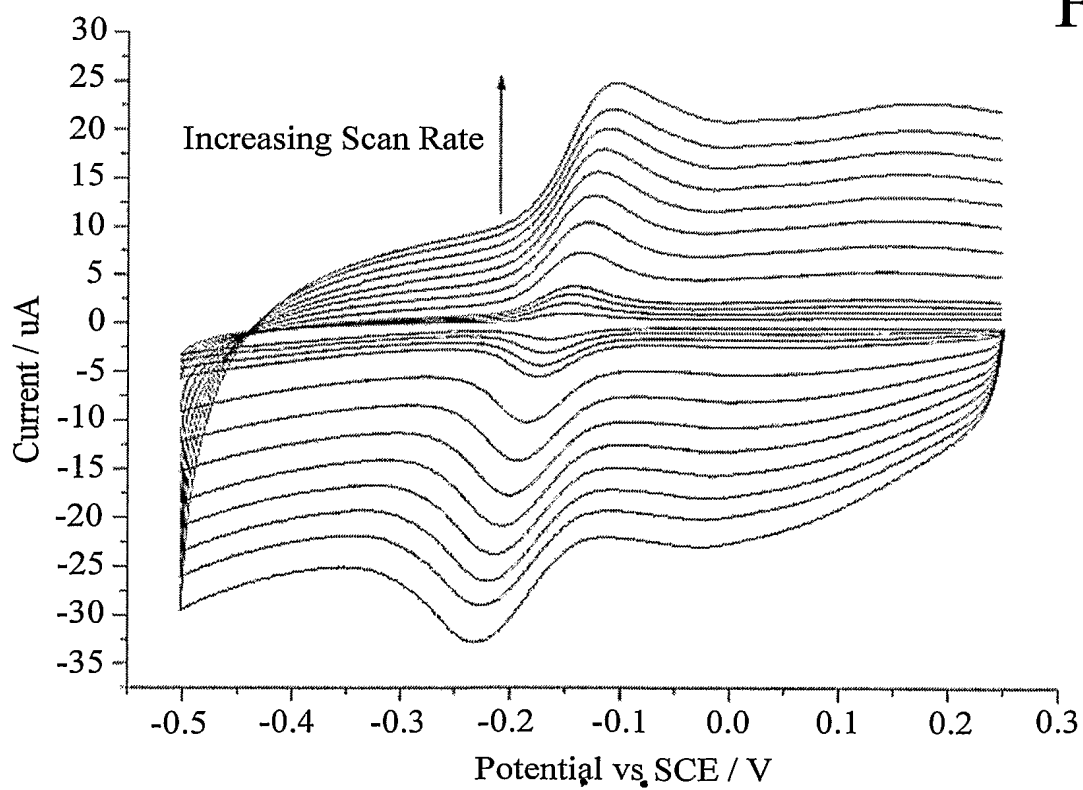


Fig. 8





9/37

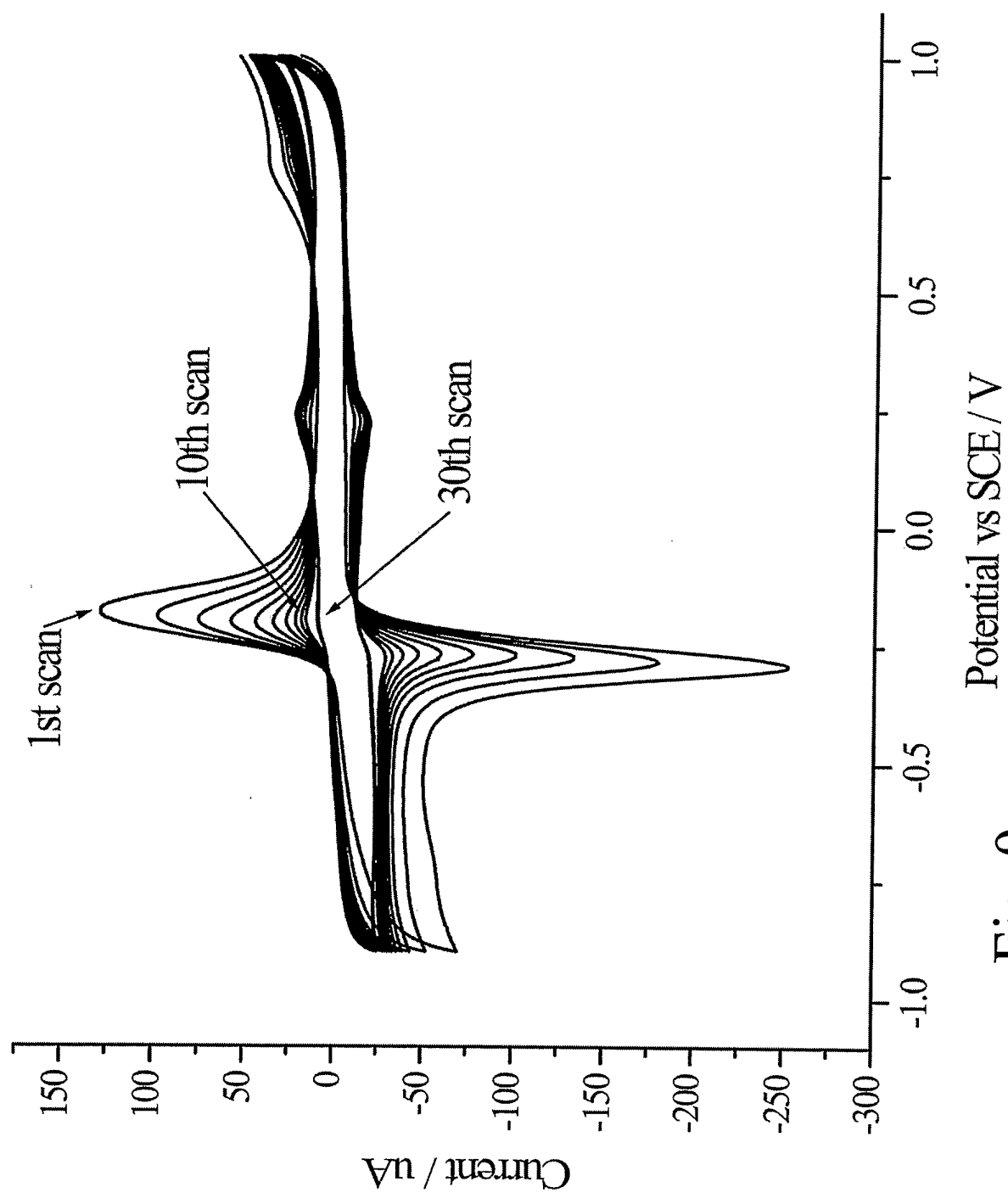


Fig. 9

10/37

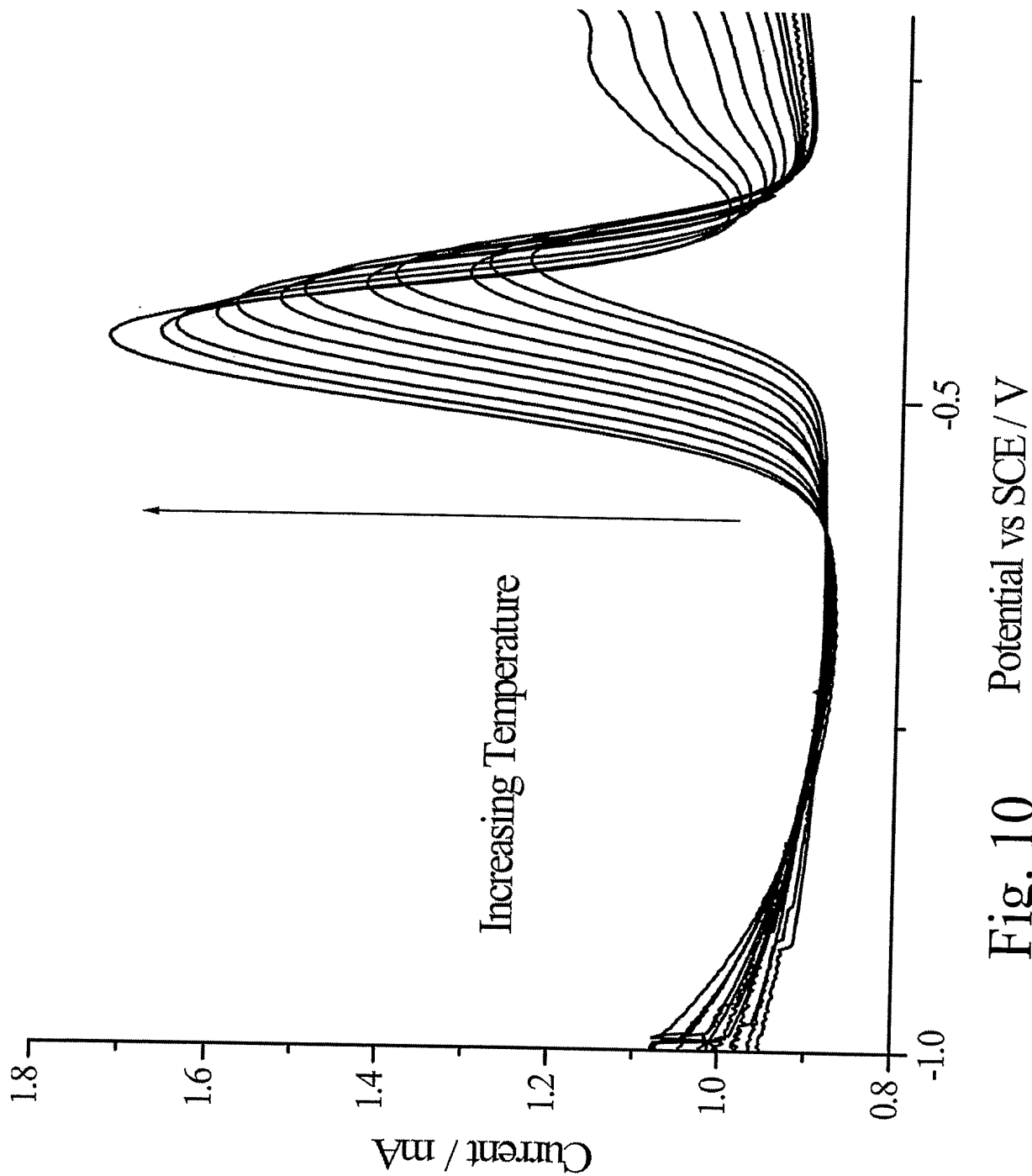


Fig. 10 Potential vs SCE / V

11/37

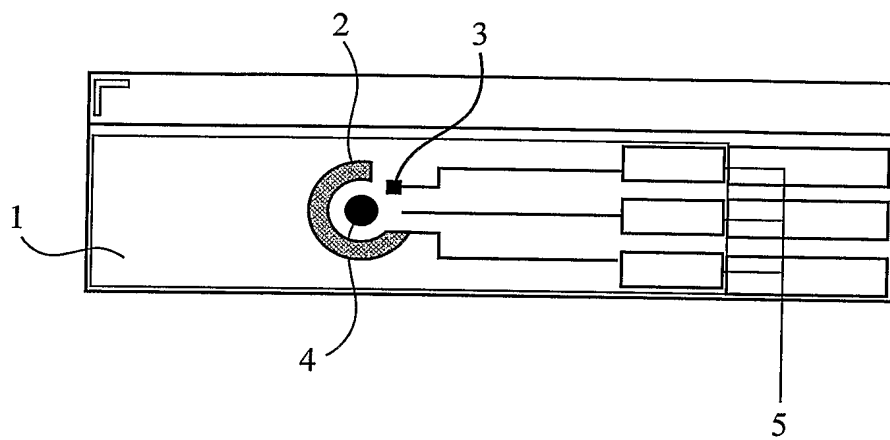


Fig. 11

12/37

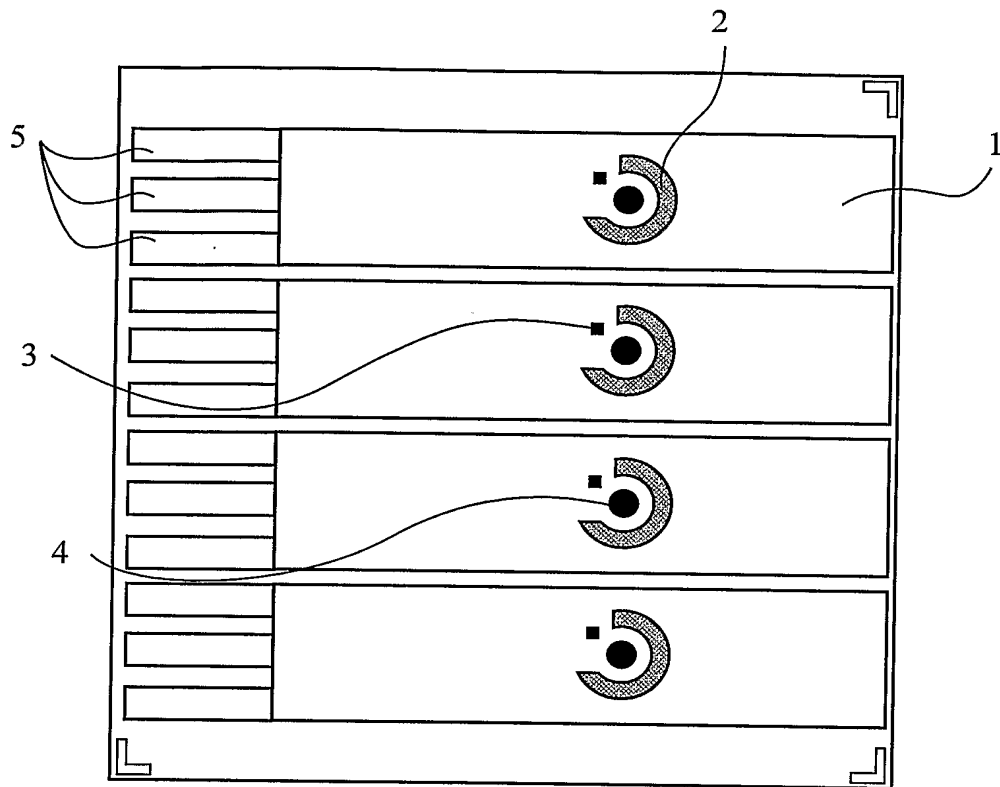


Fig. 12

13/37

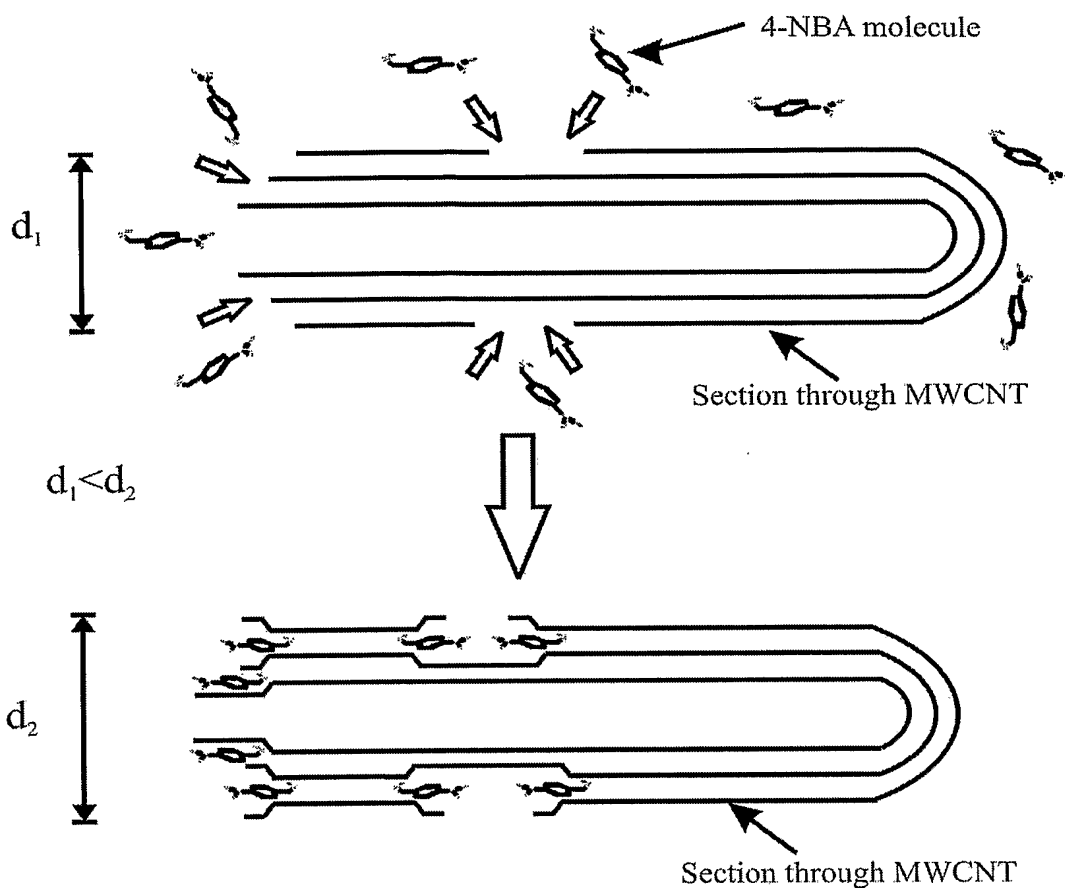


Fig. 13

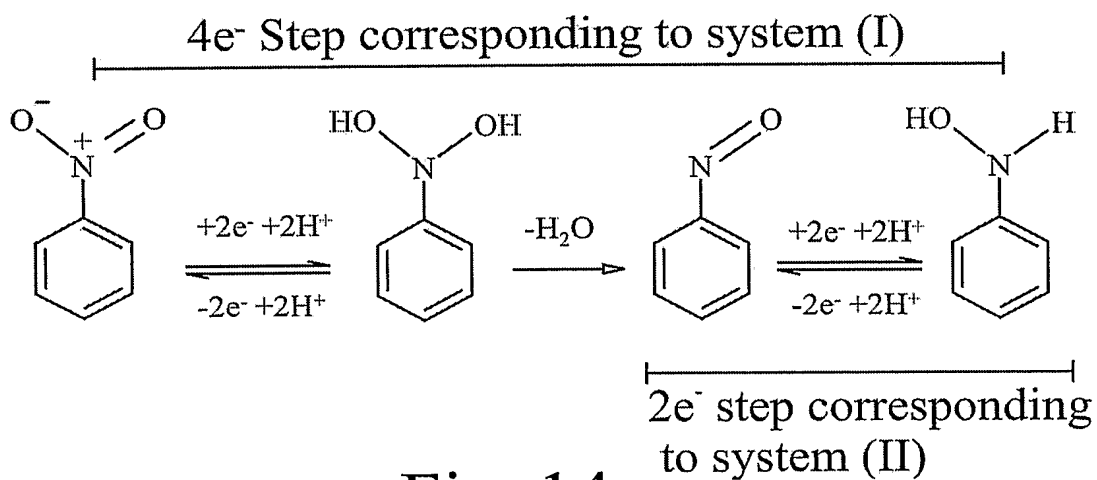


Fig. 14

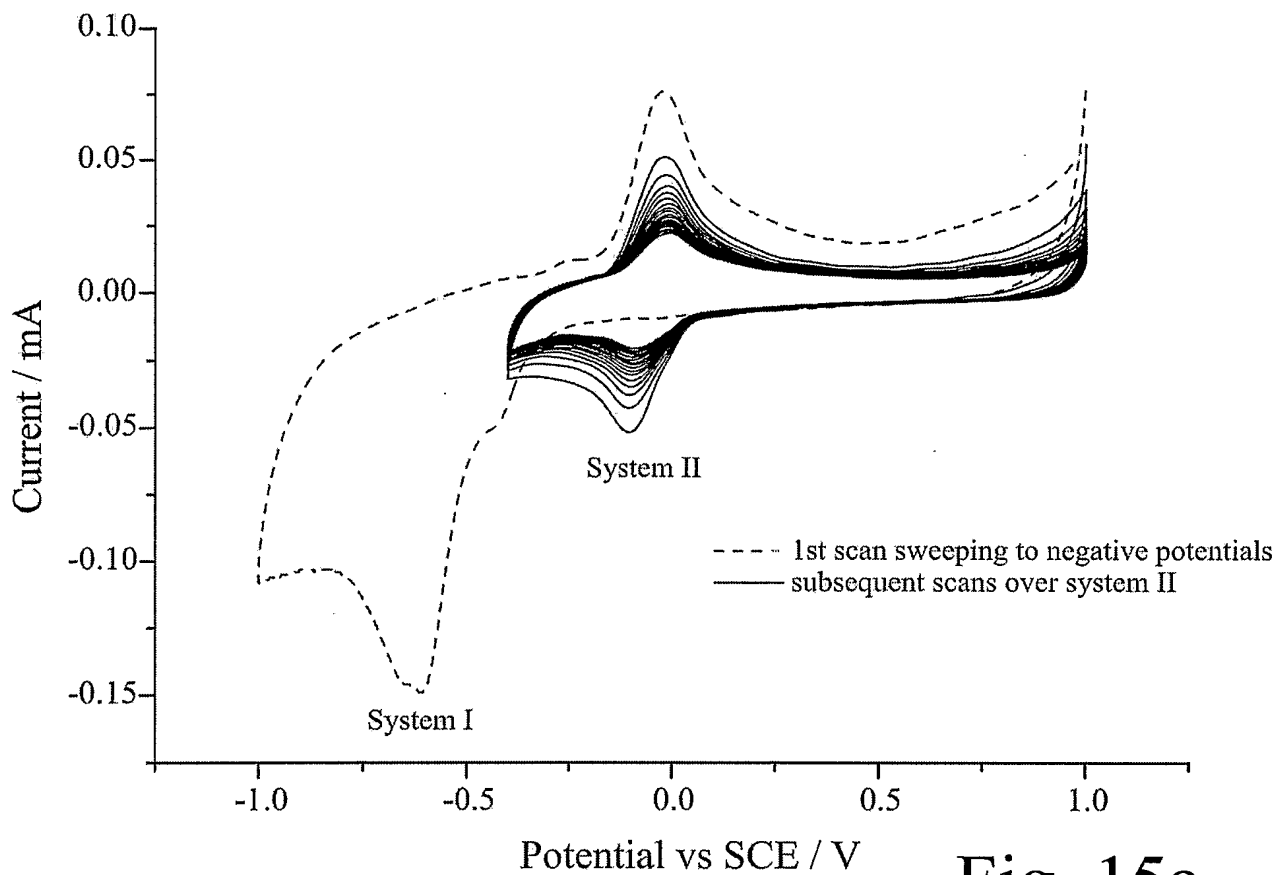


Fig. 15a

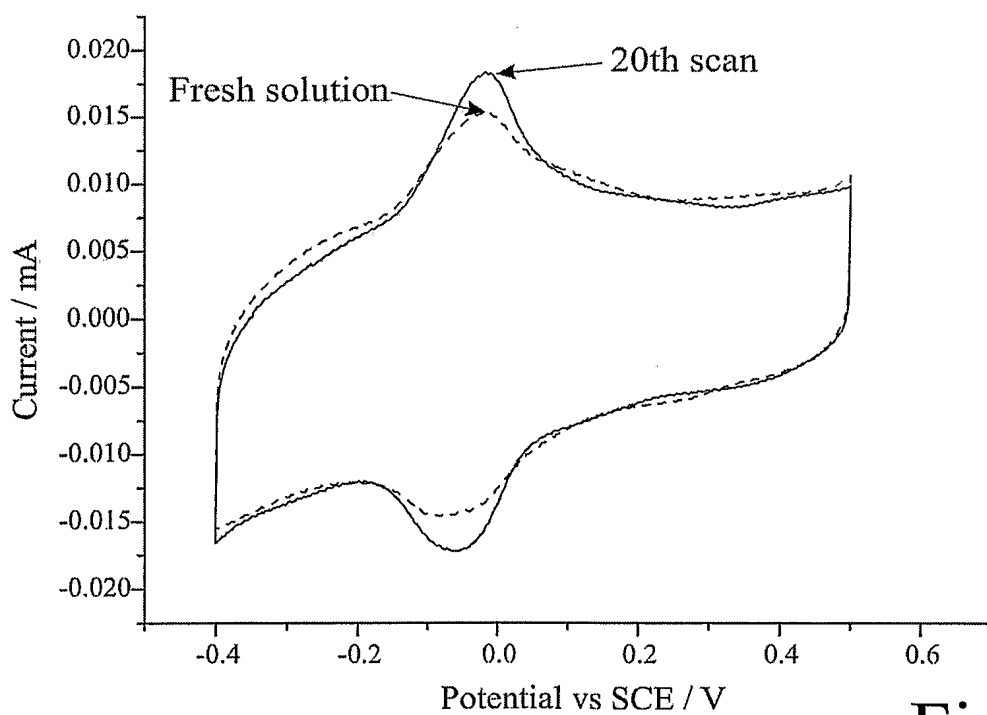


Fig. 15b

15/37

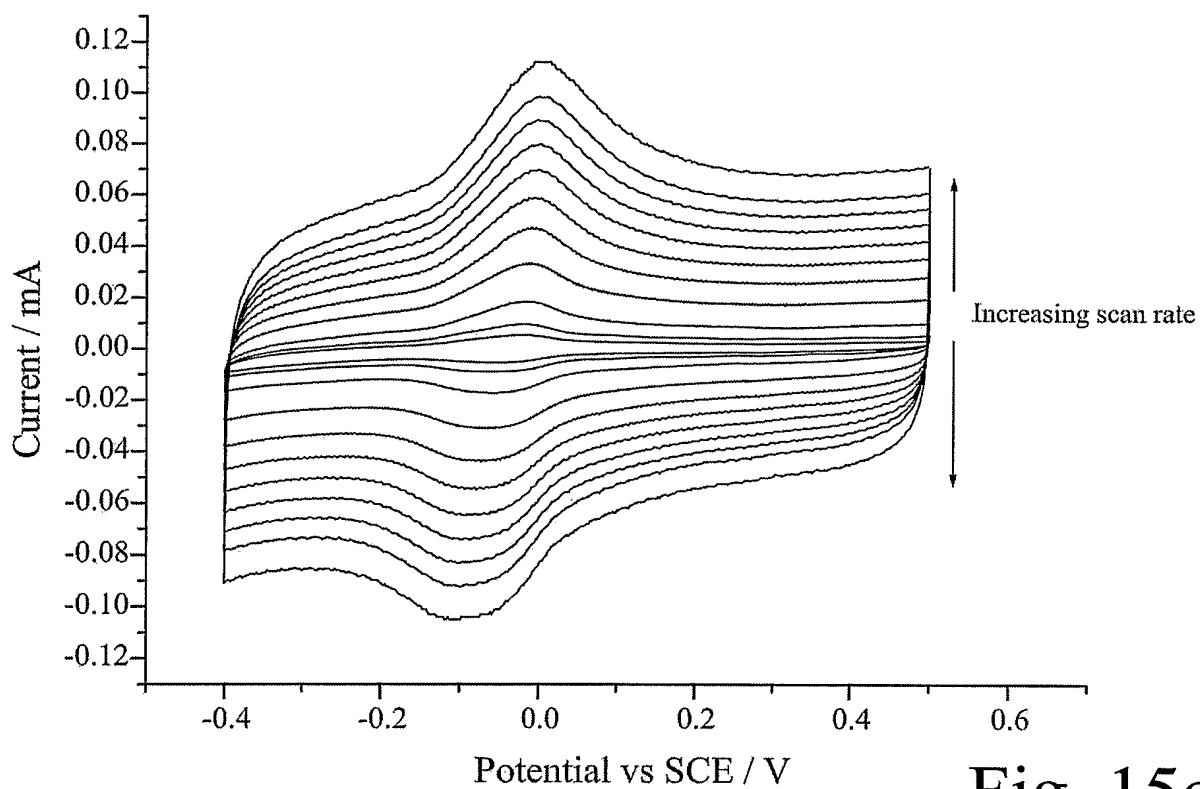


Fig. 15c

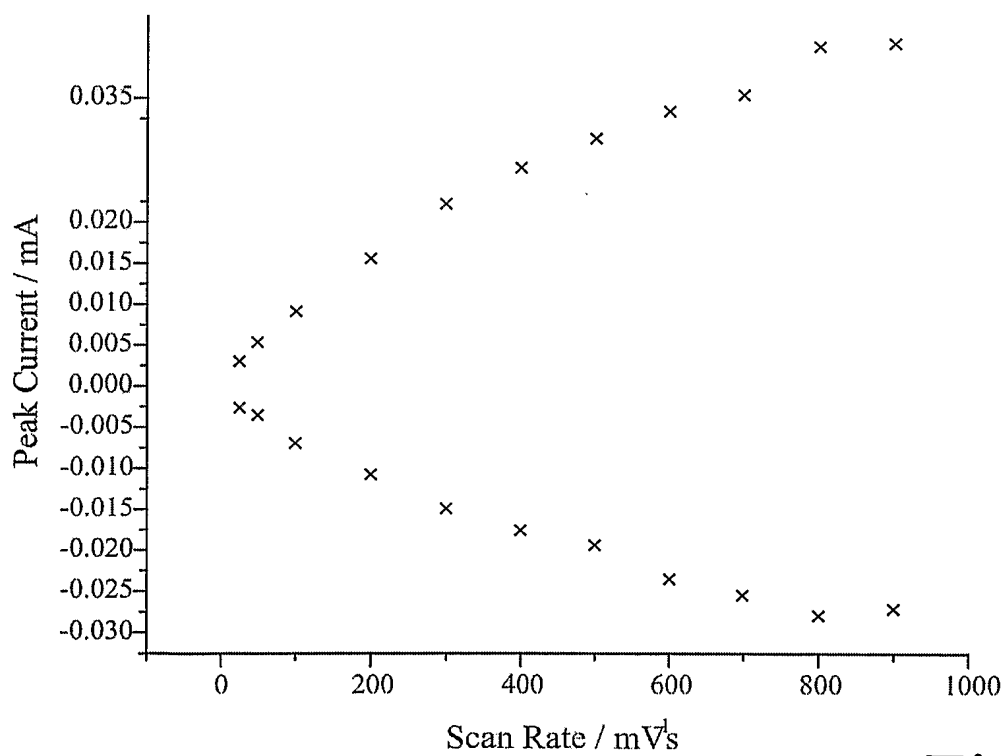


Fig. 15d

16/37

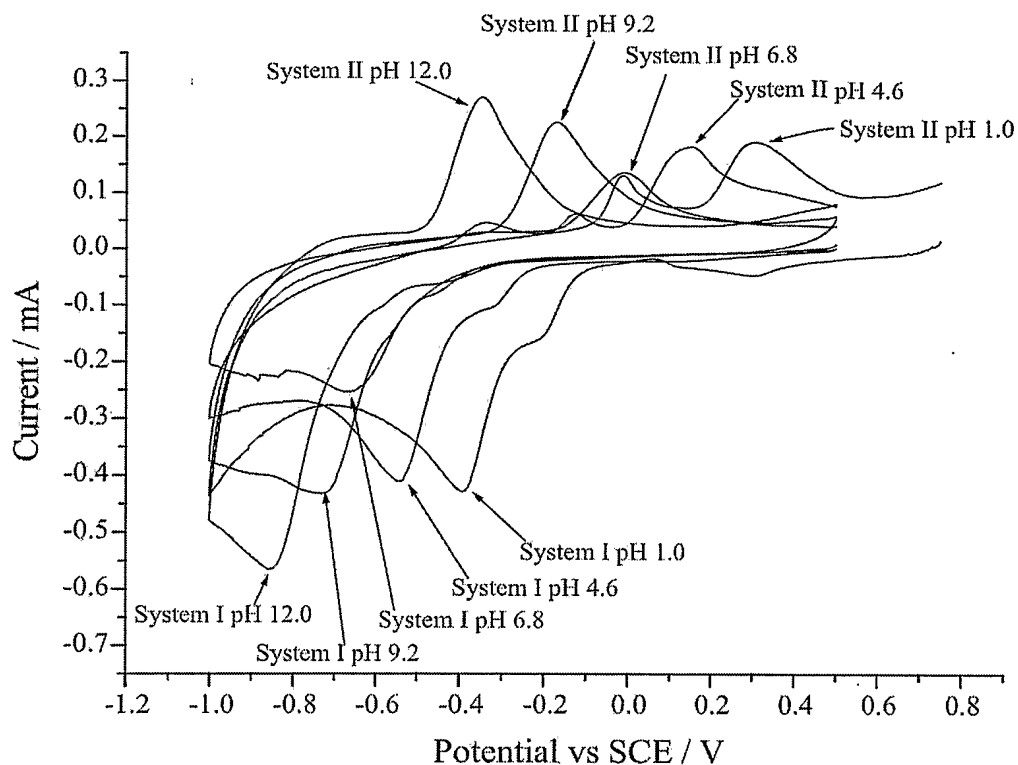


Fig. 16a

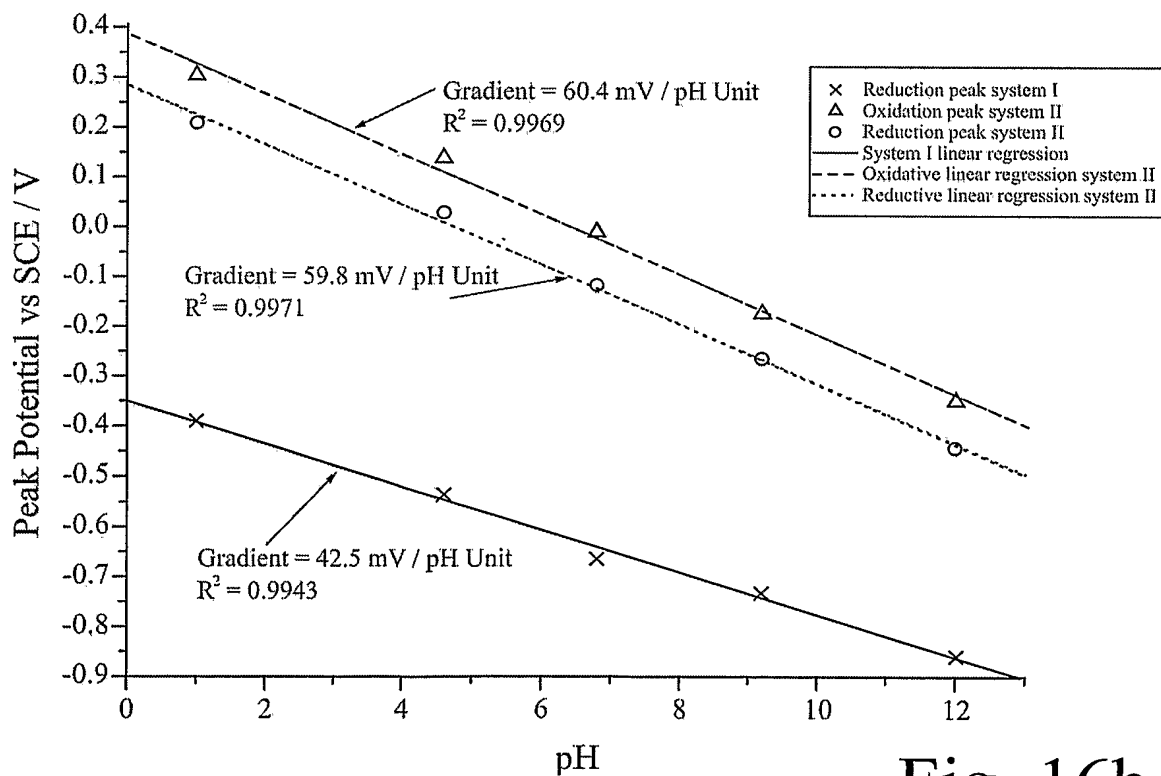


Fig. 16b



17/37

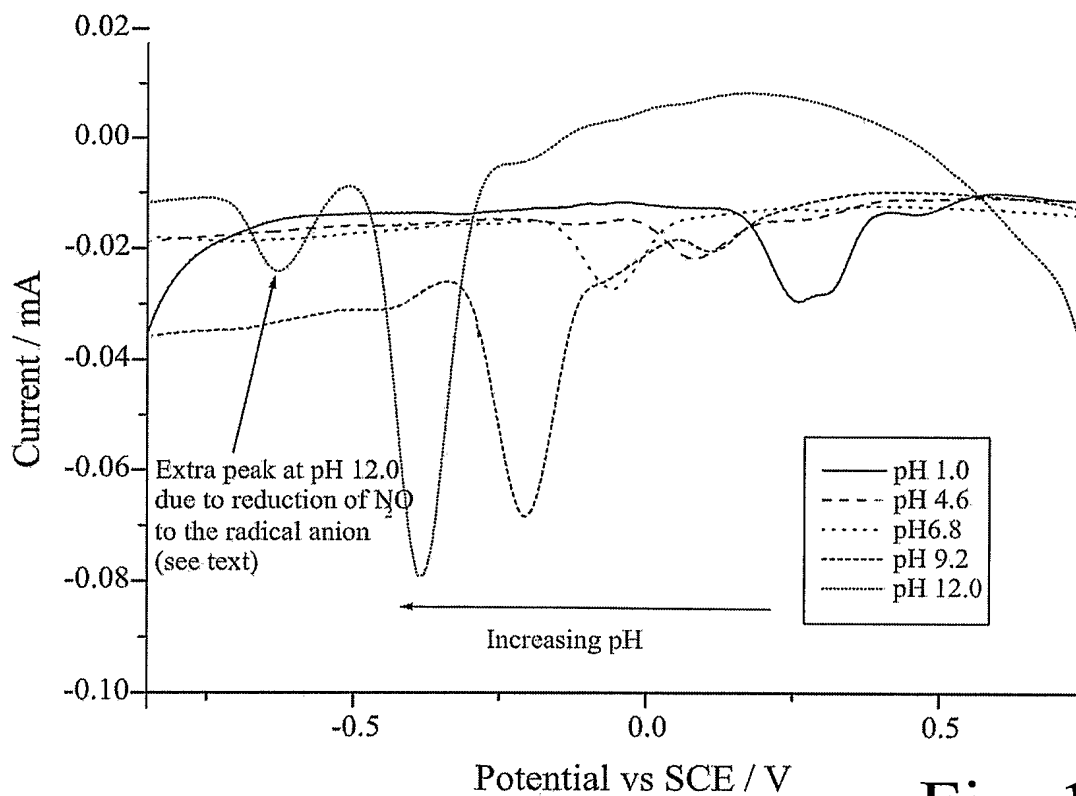


Fig. 17a

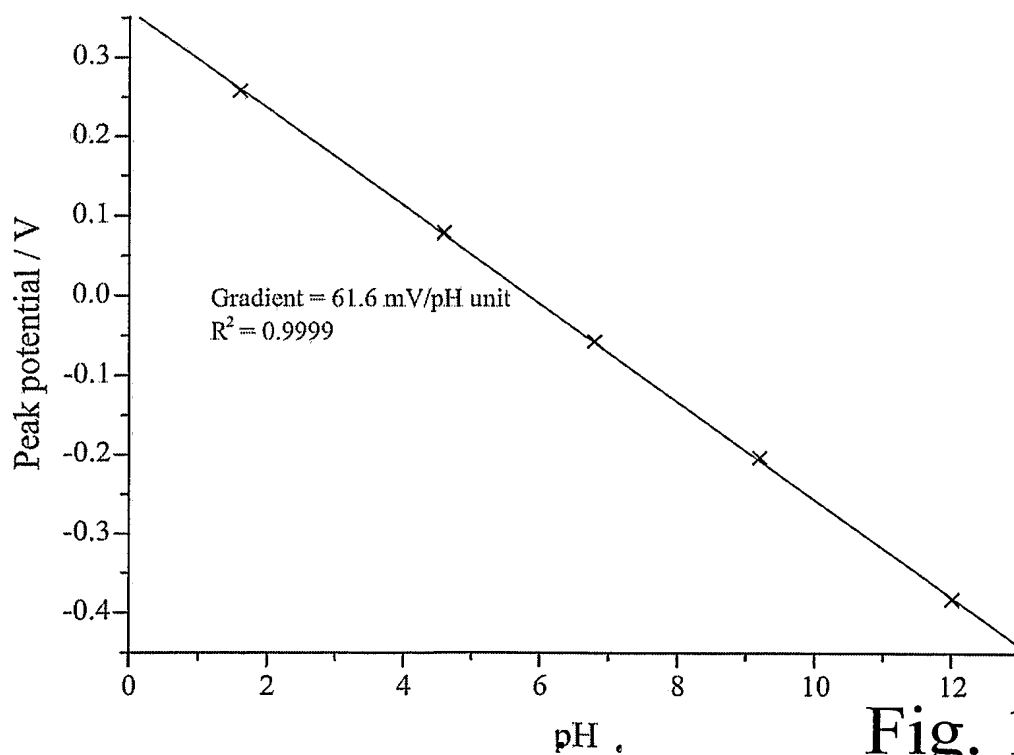


Fig. 17b

18/37

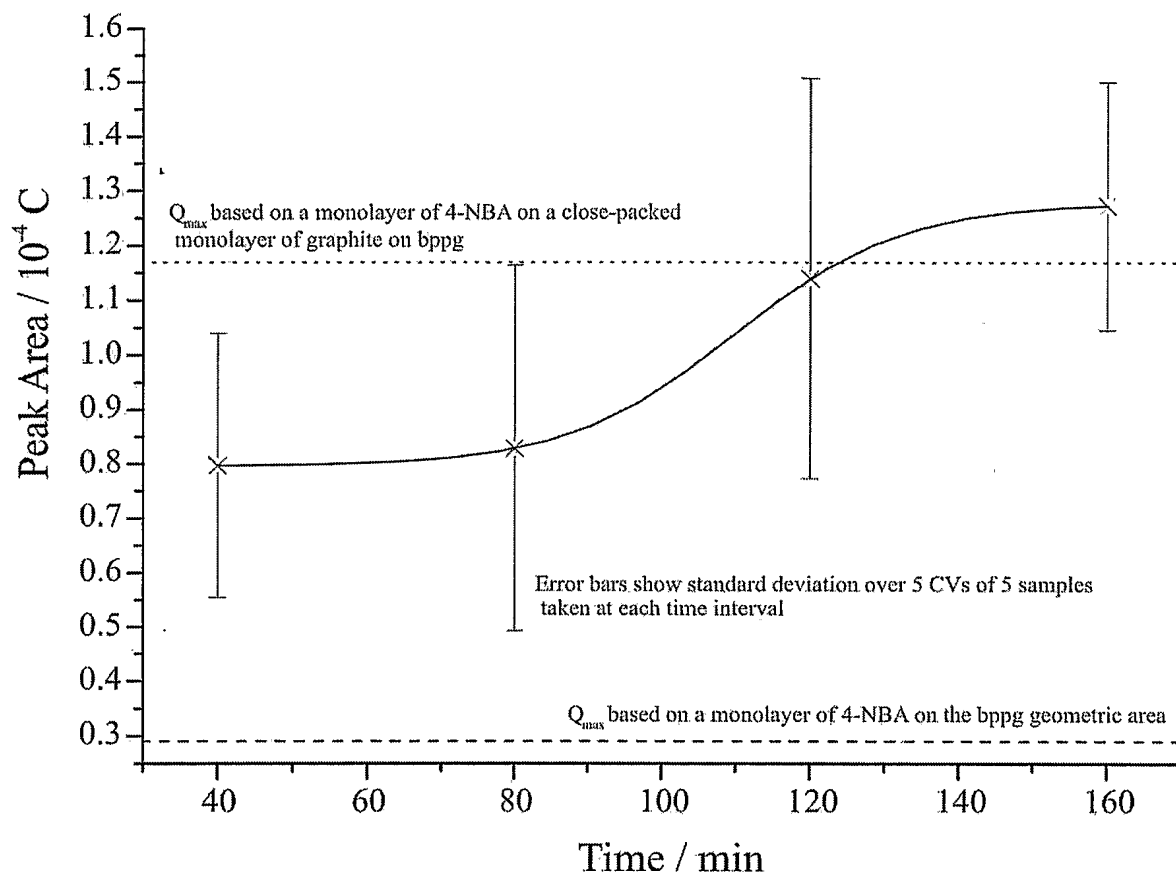


Fig. 18

19/37

Figure 14

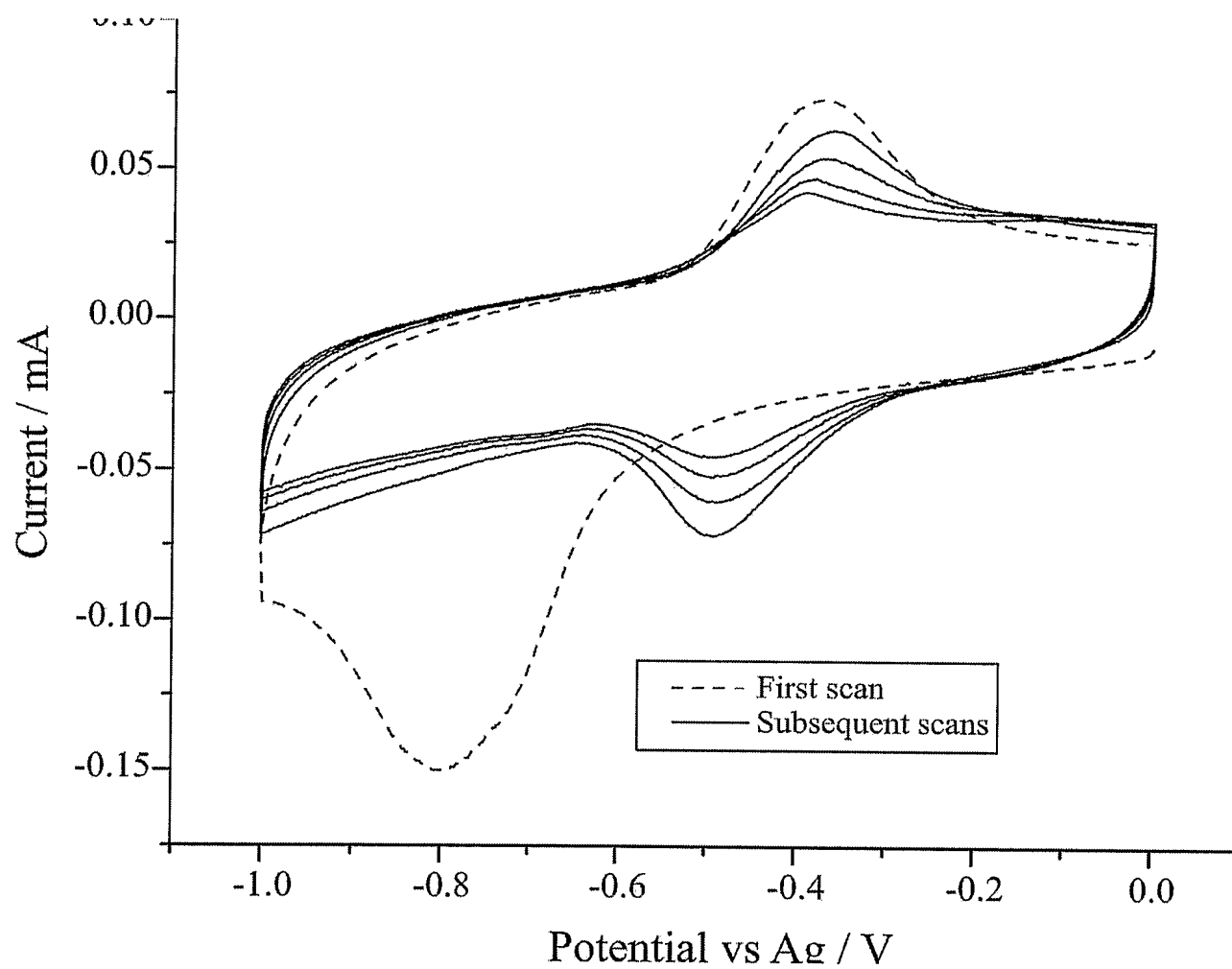


Fig. 19

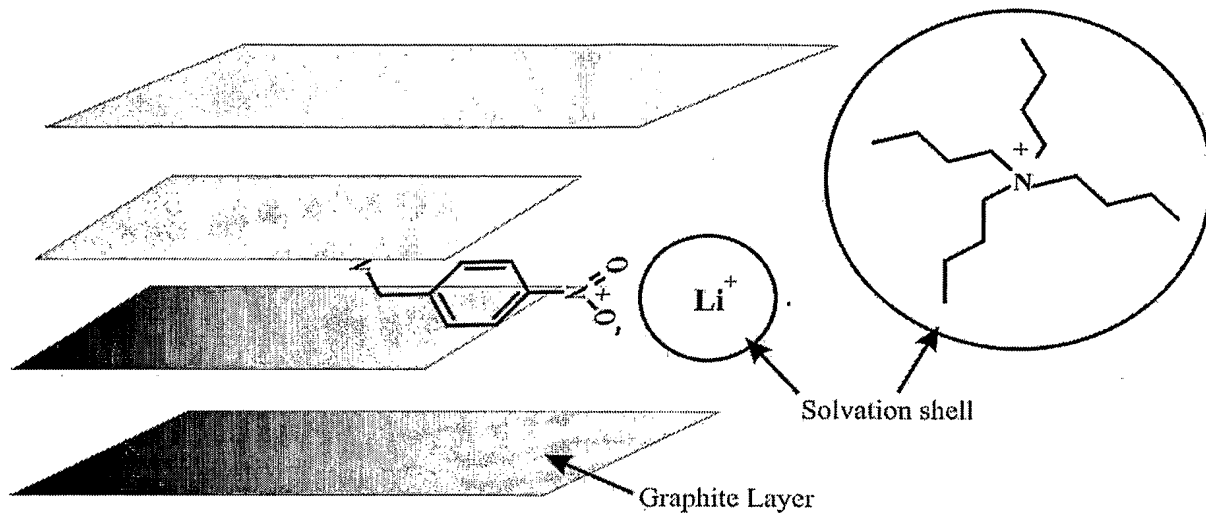


Fig. 20

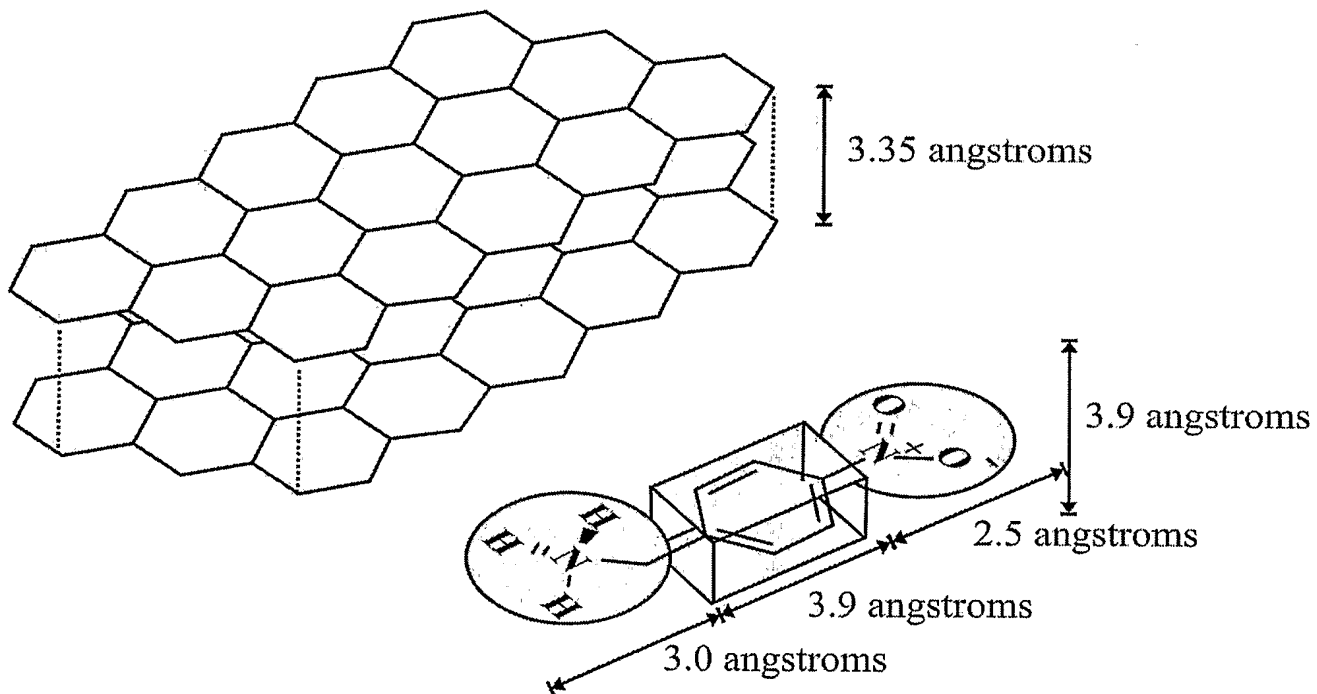


Fig 21

21/37

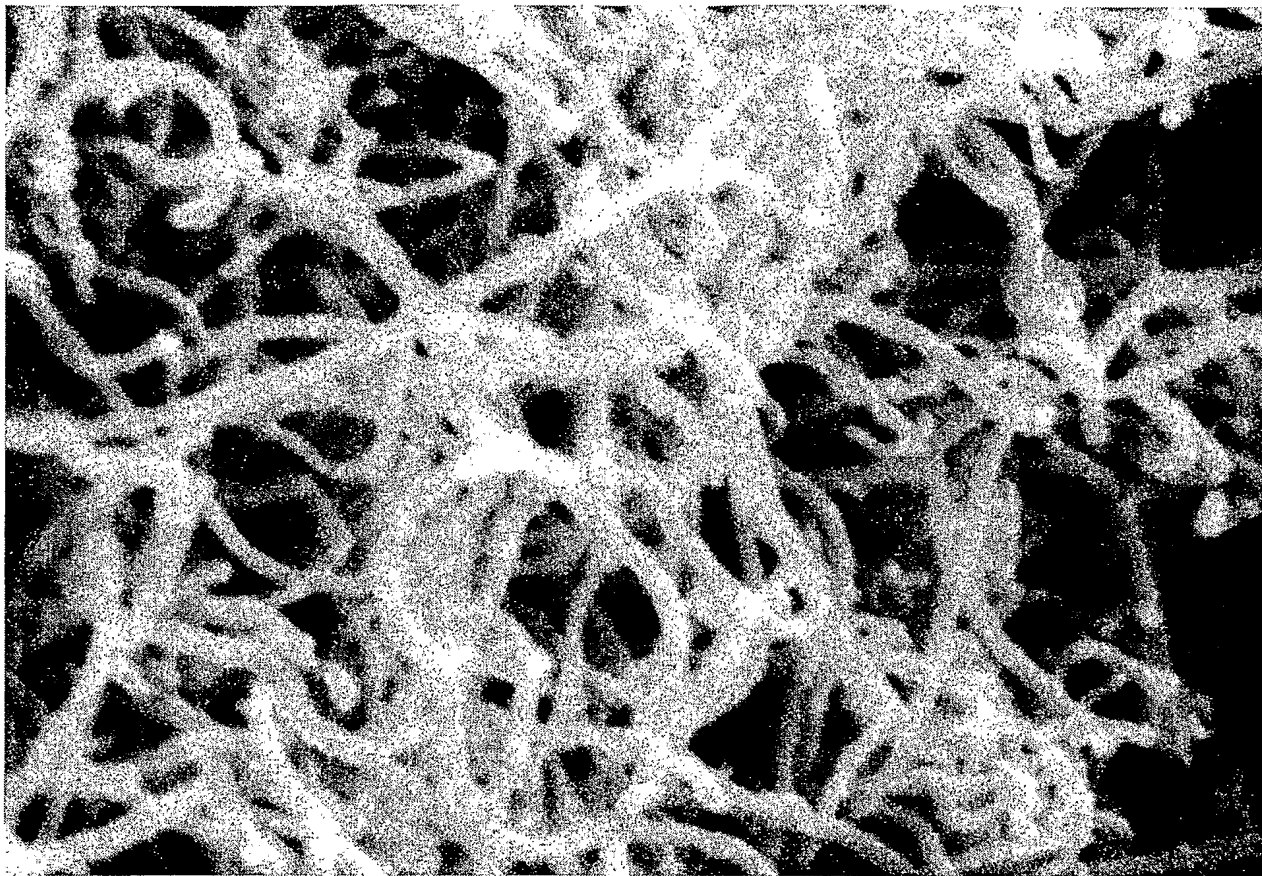


Fig. 22a

22/37

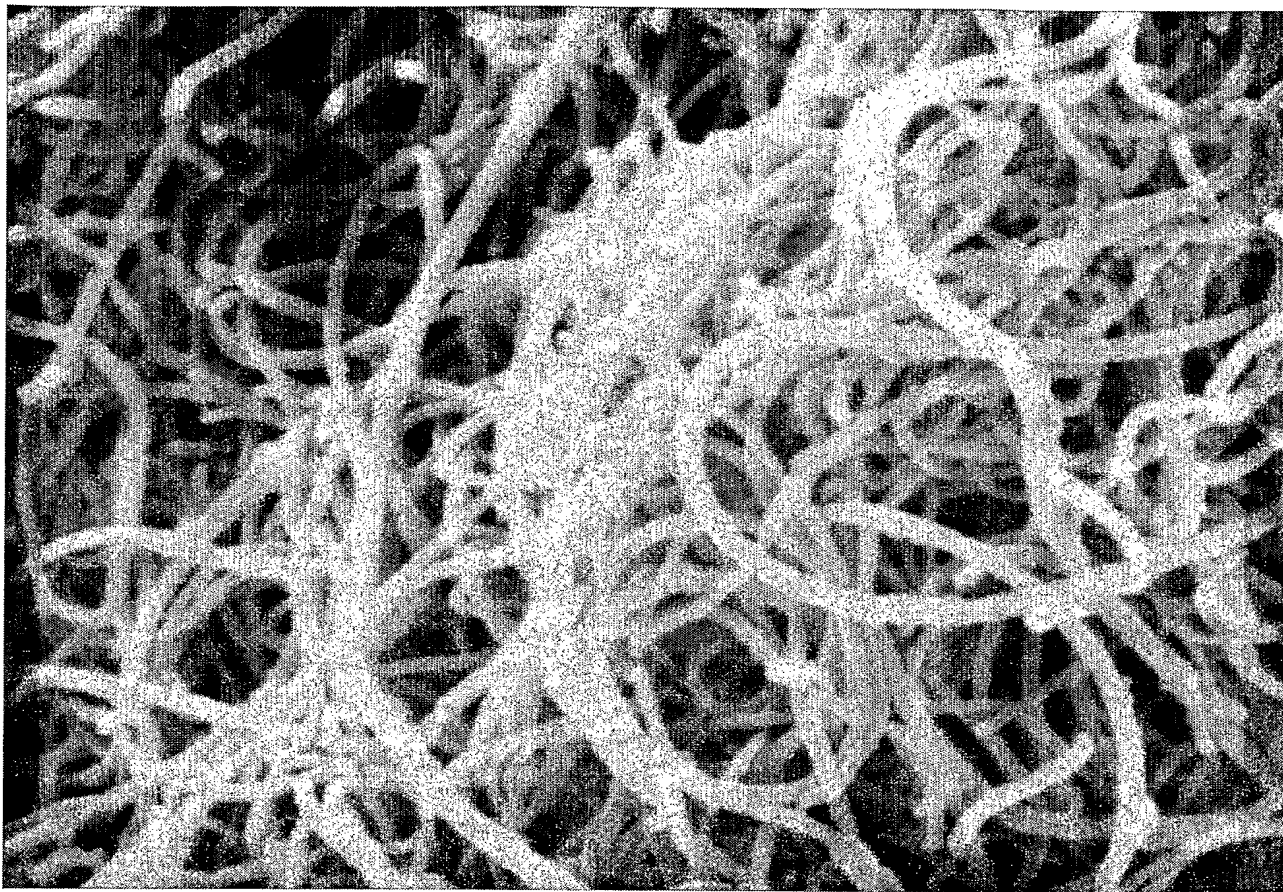


Fig. 22b

23/37

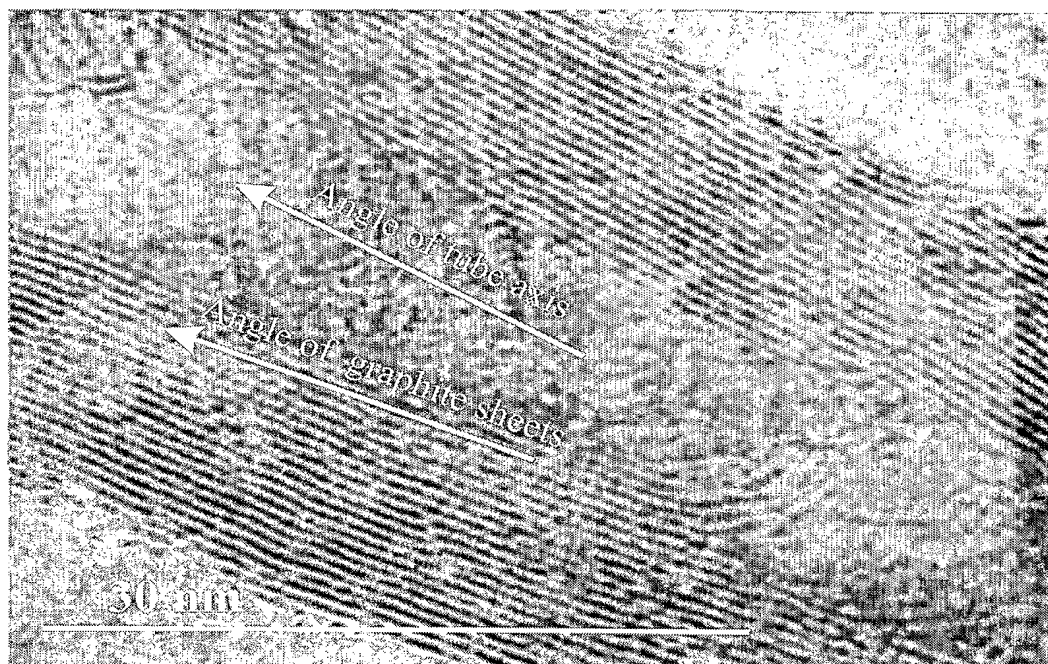


Fig. 23a

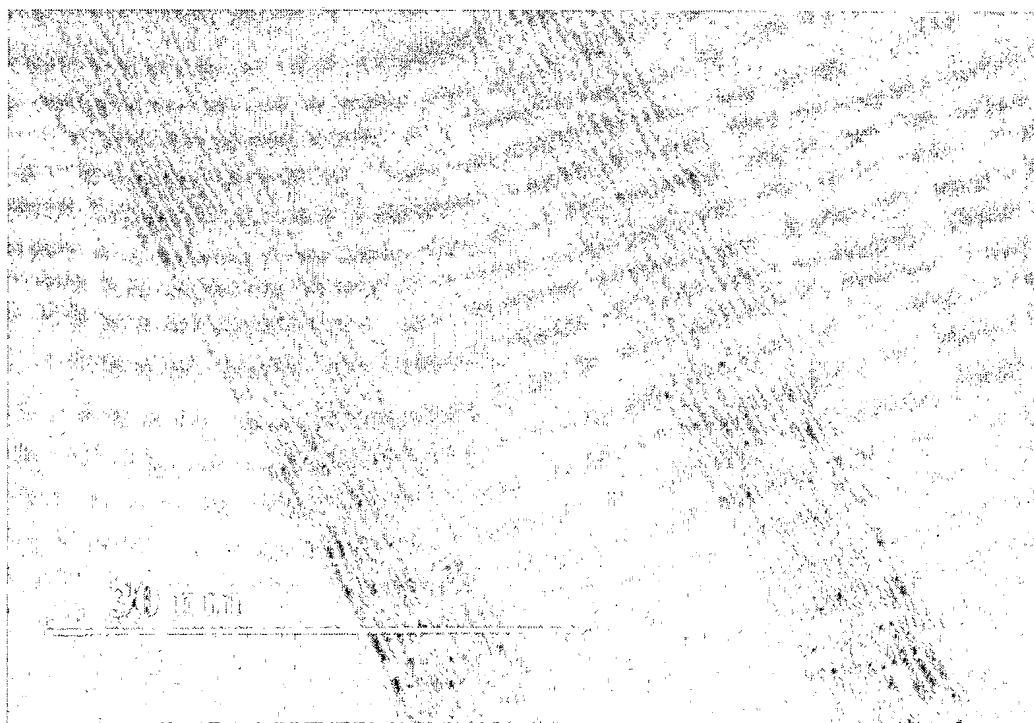


Fig. 23b

24/37

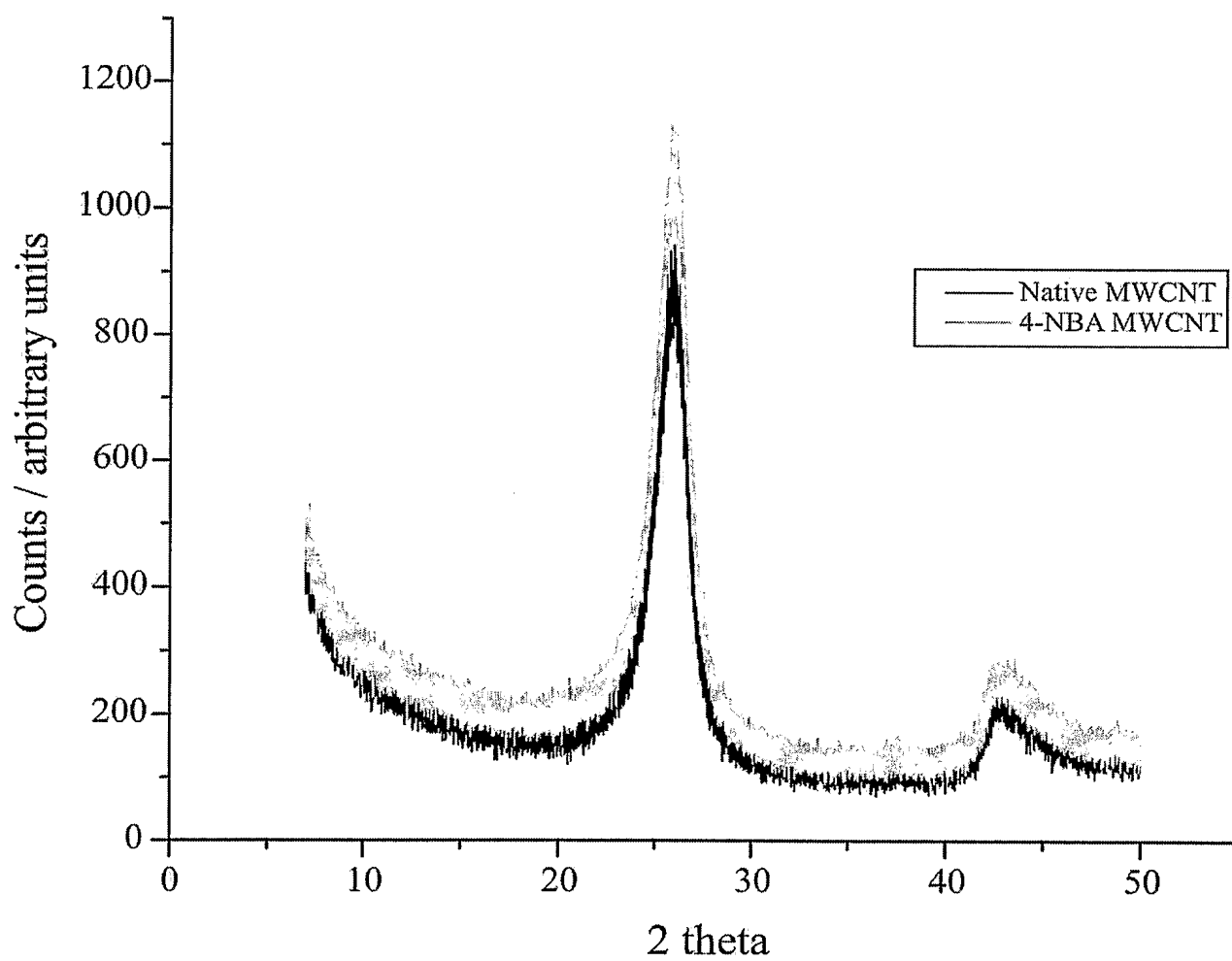


Fig. 24



25/37

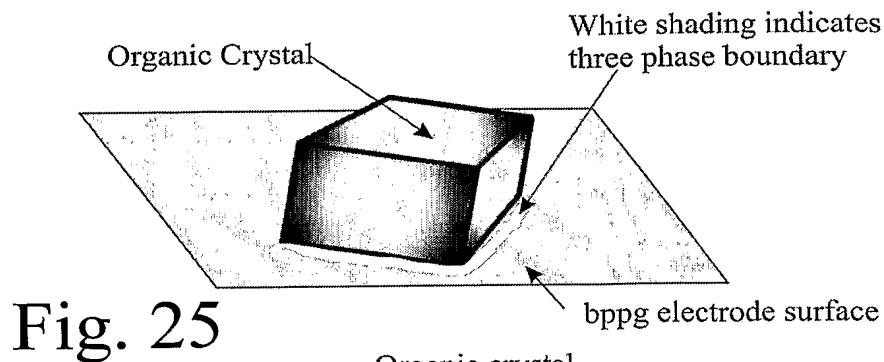


Fig. 25

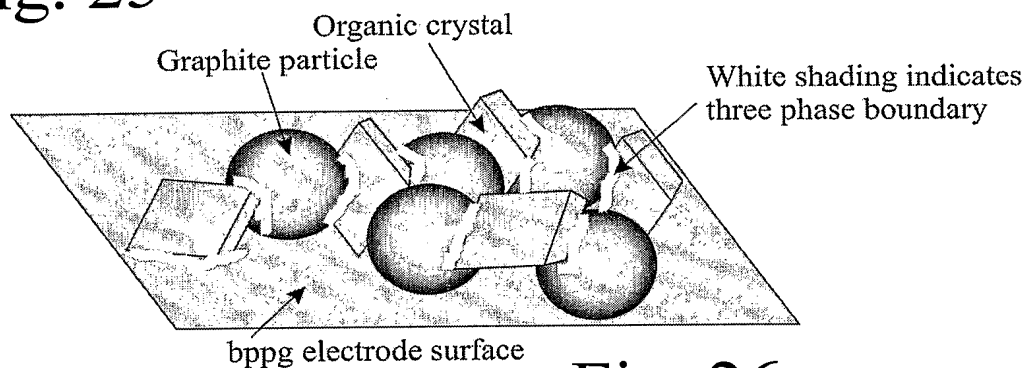


Fig. 26

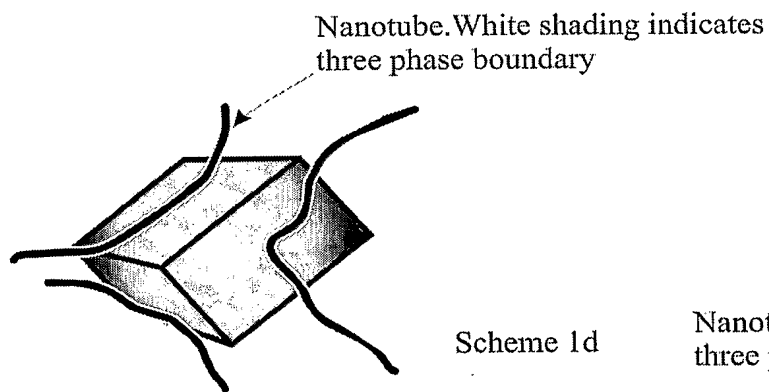


Fig. 27

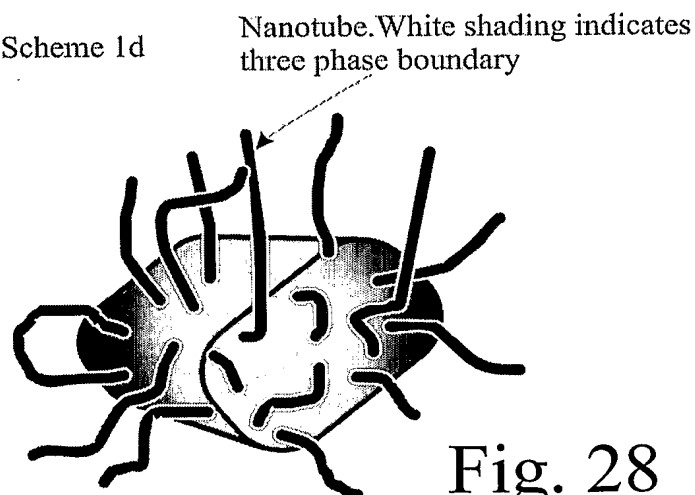


Fig. 28

26/37

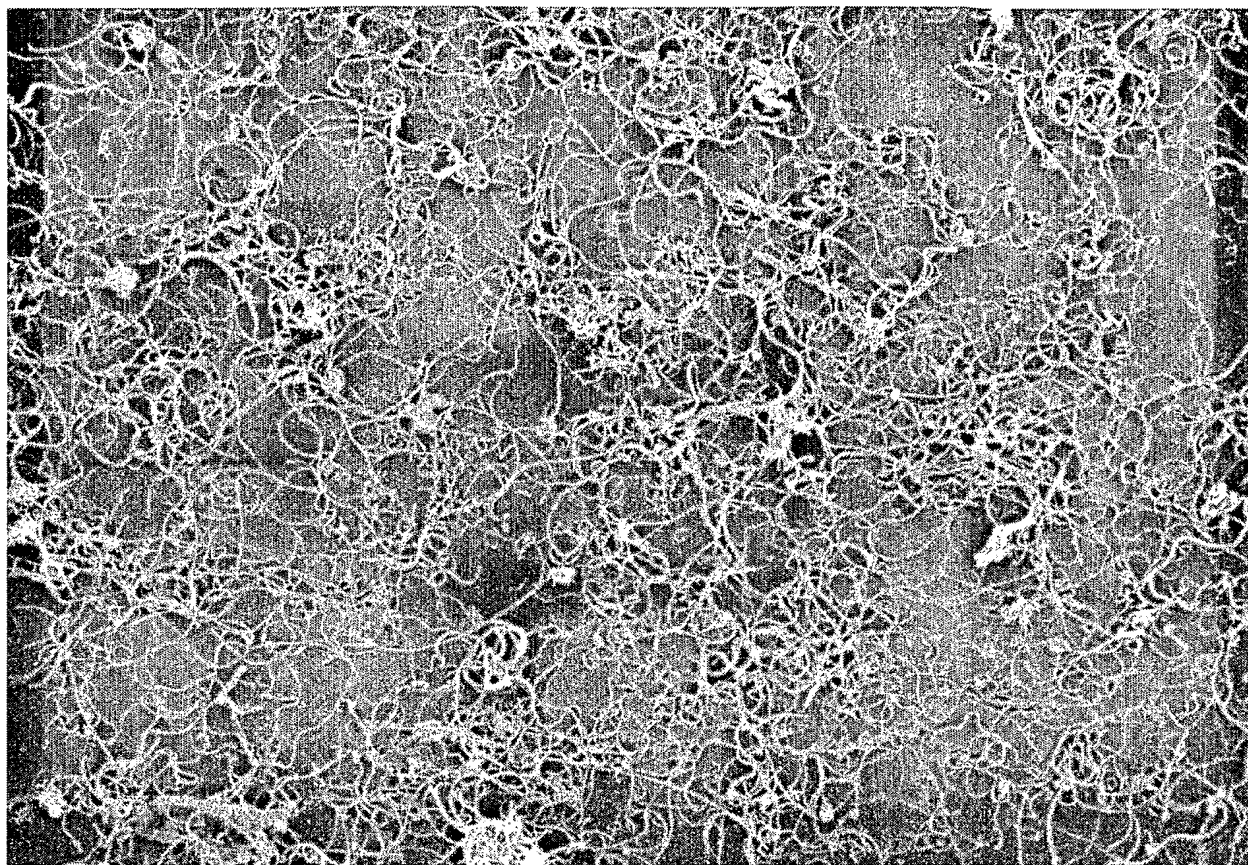


Fig. 29

27/37

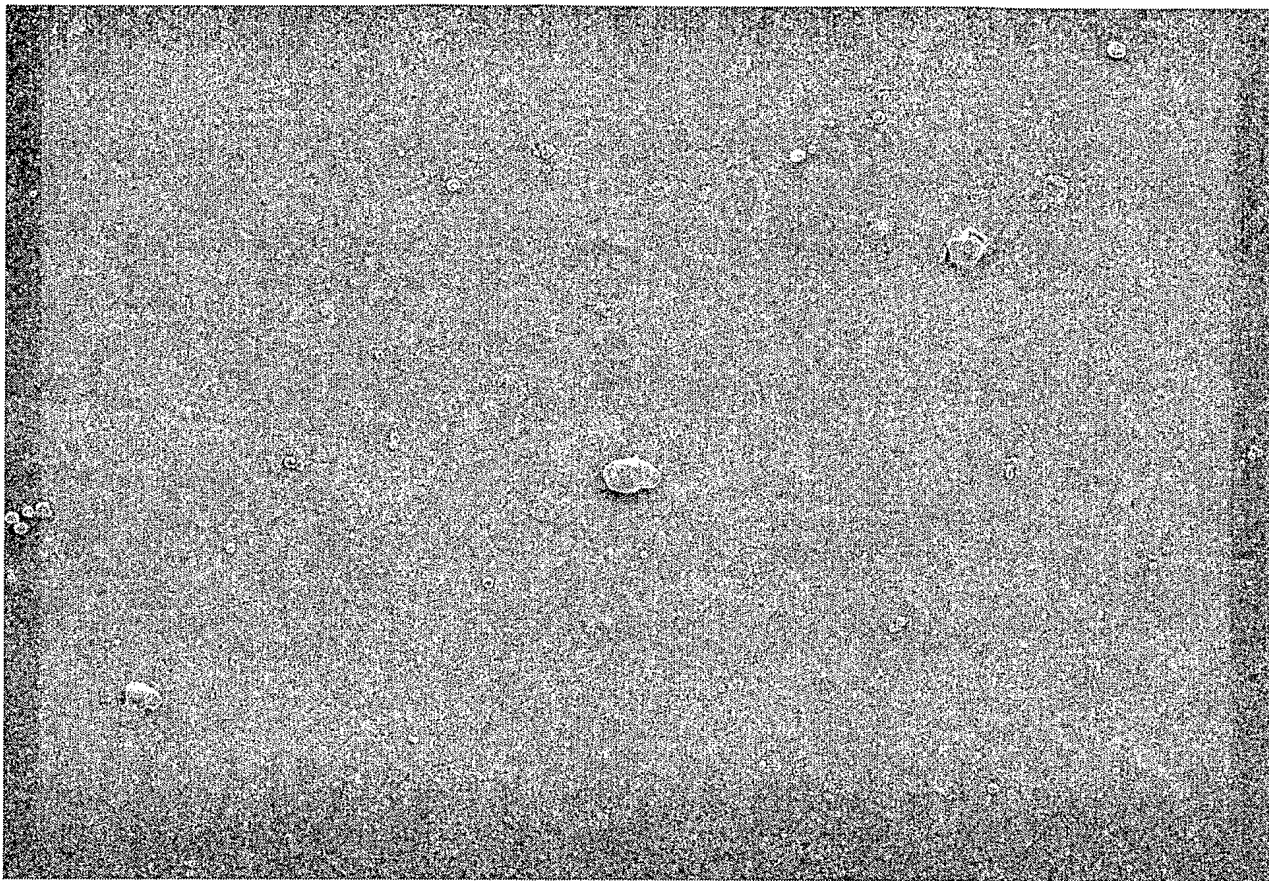


Fig. 30

28/37

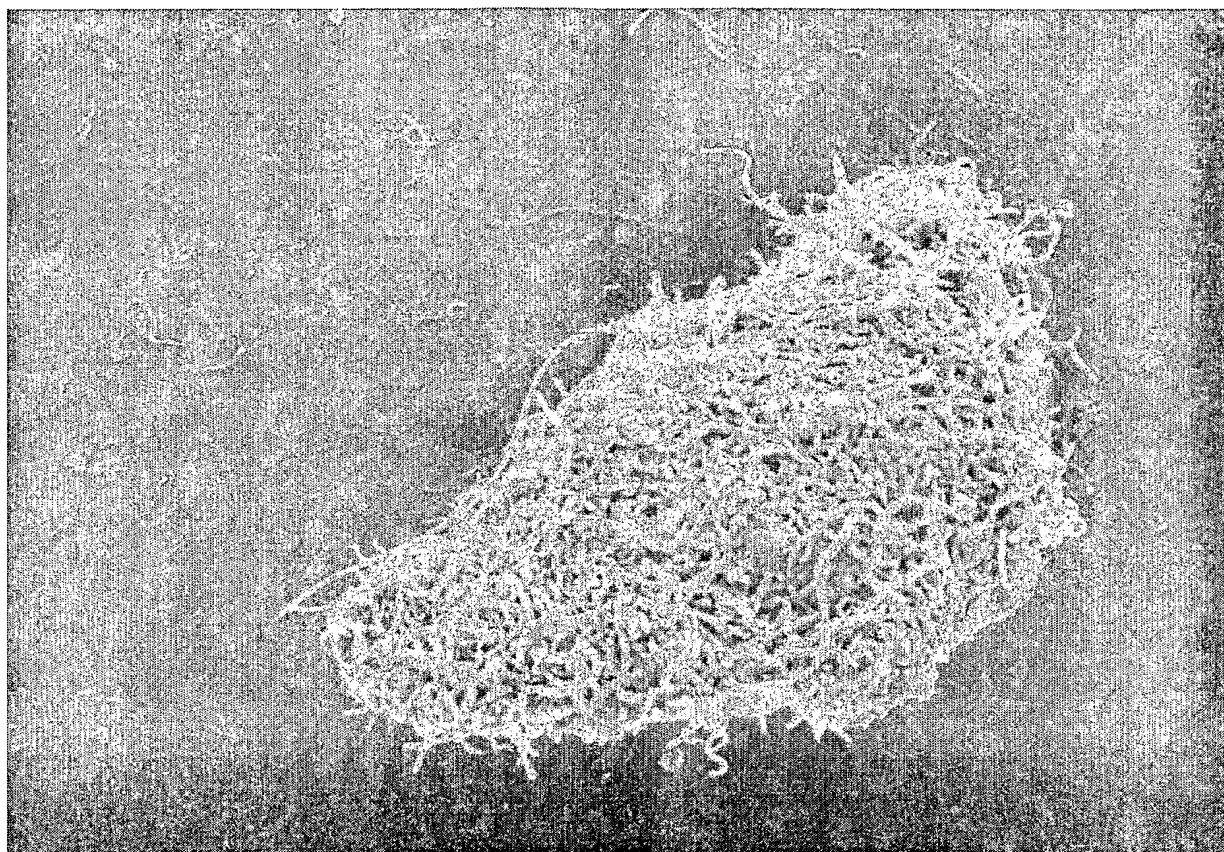


Fig. 31

29/37

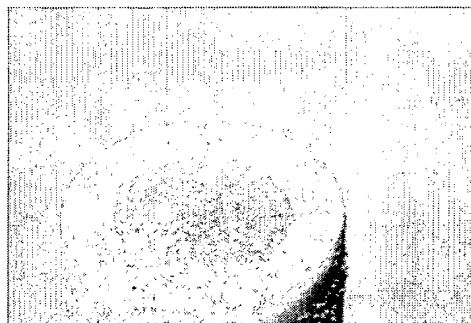


Fig. 32

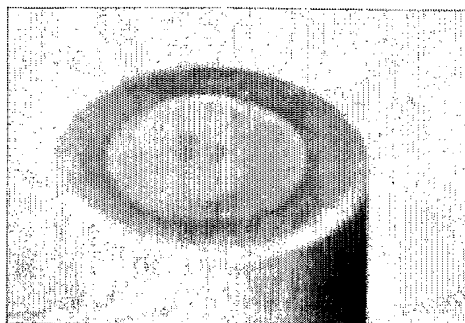


Fig. 33



Fig. 34

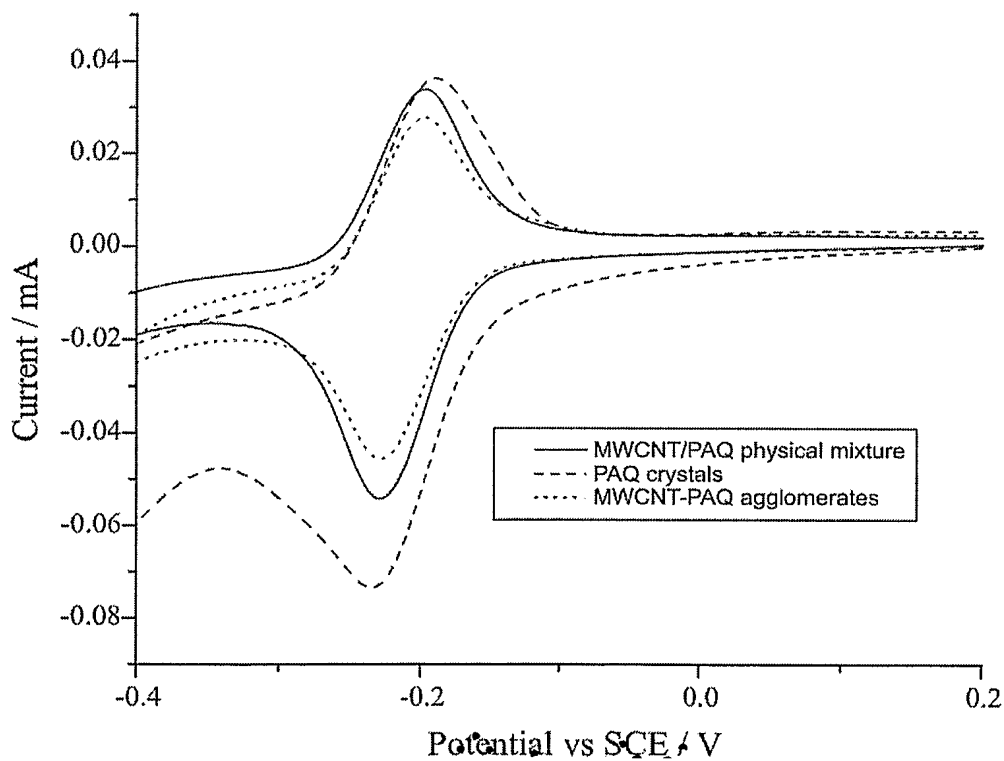


Fig. 35

30/37

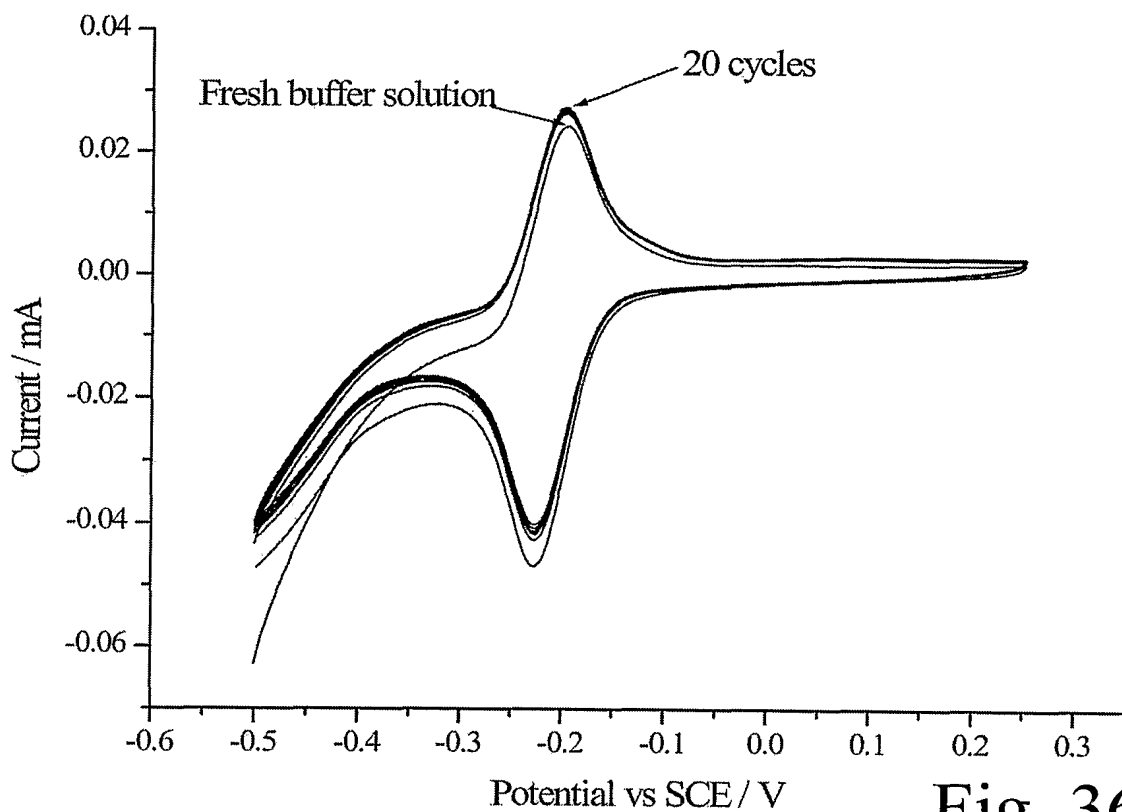


Fig. 36a

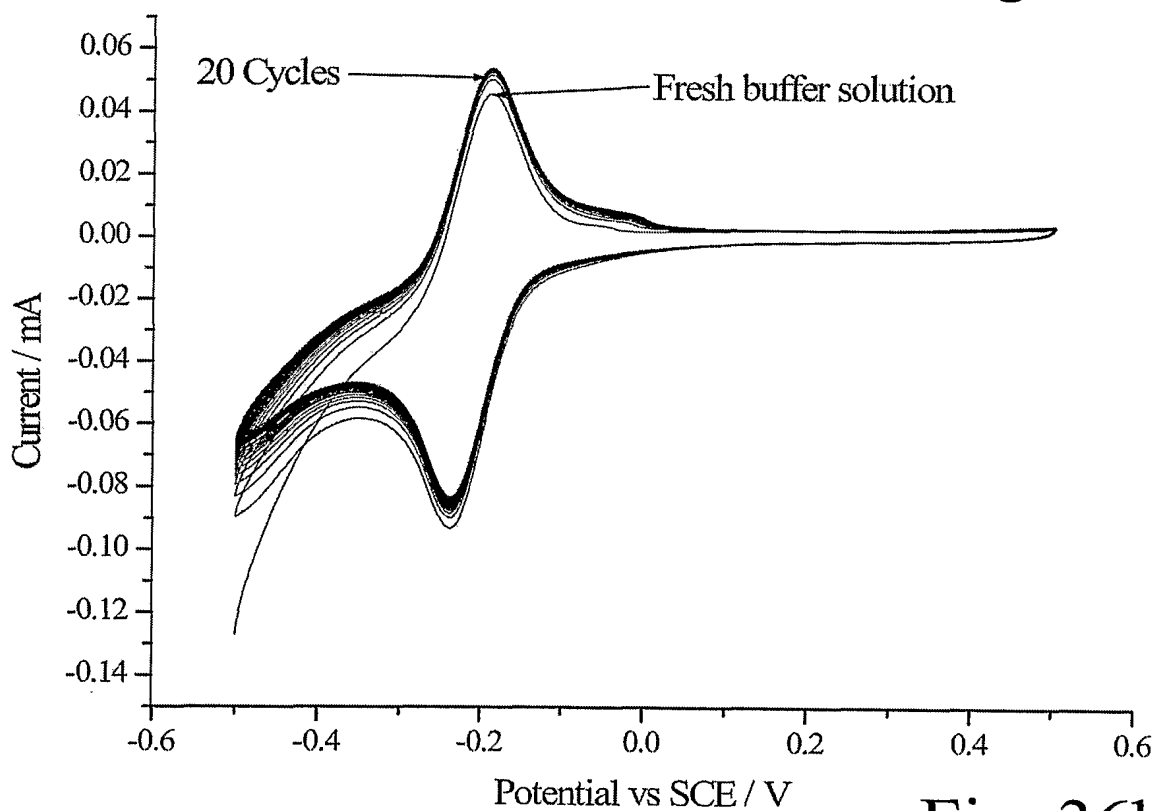


Fig. 36b

31/37

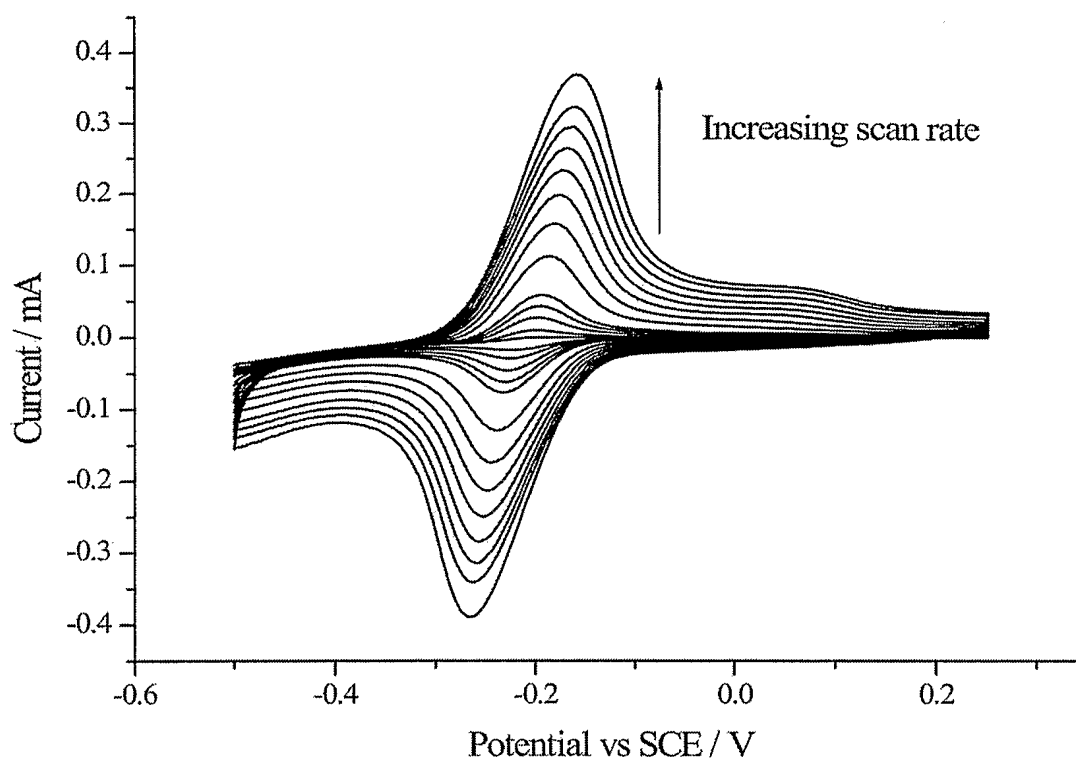
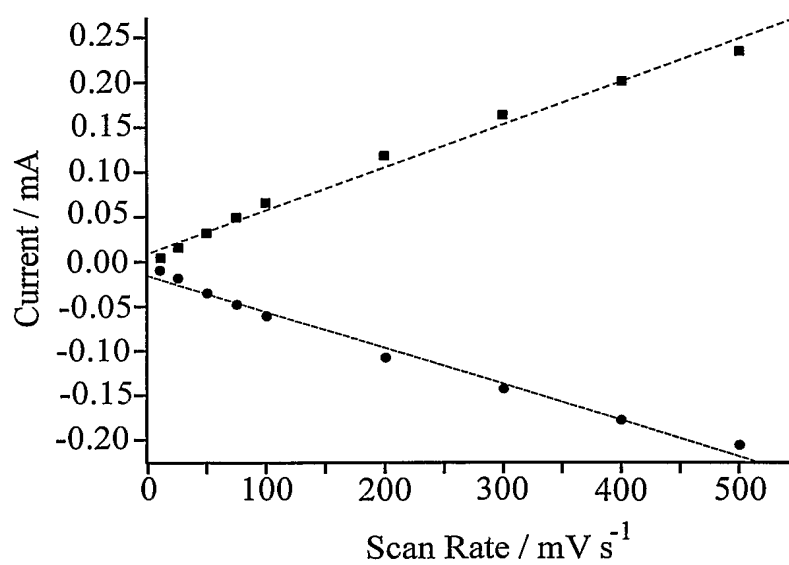


Fig. 37a



32/37

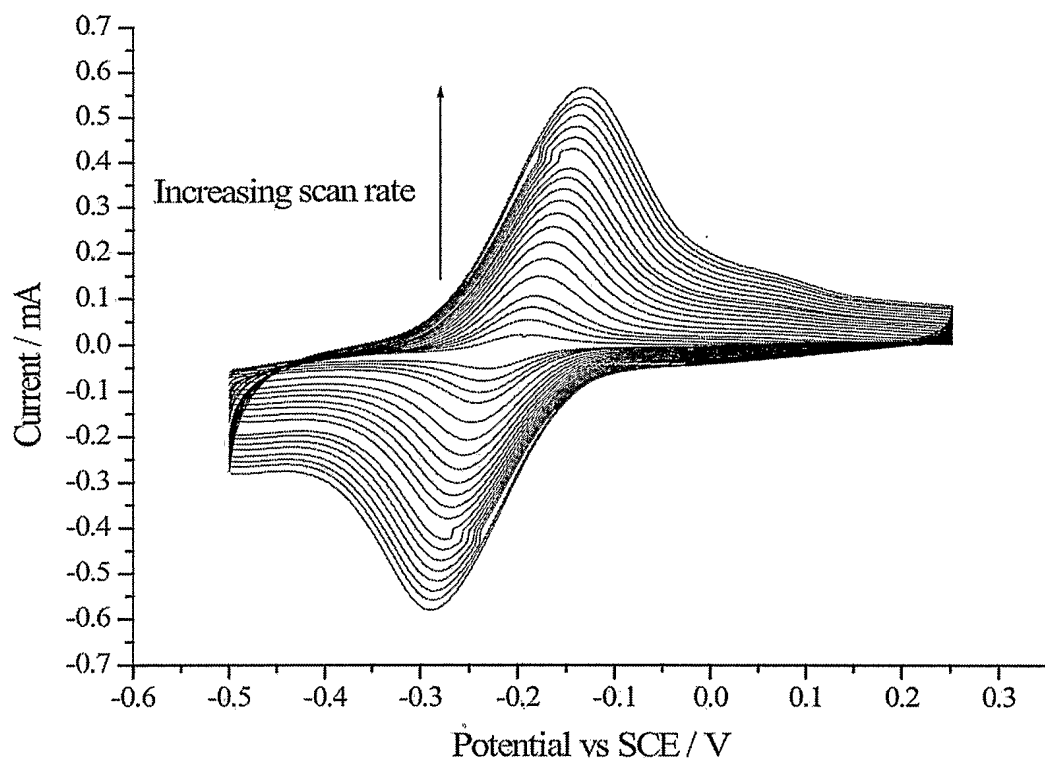
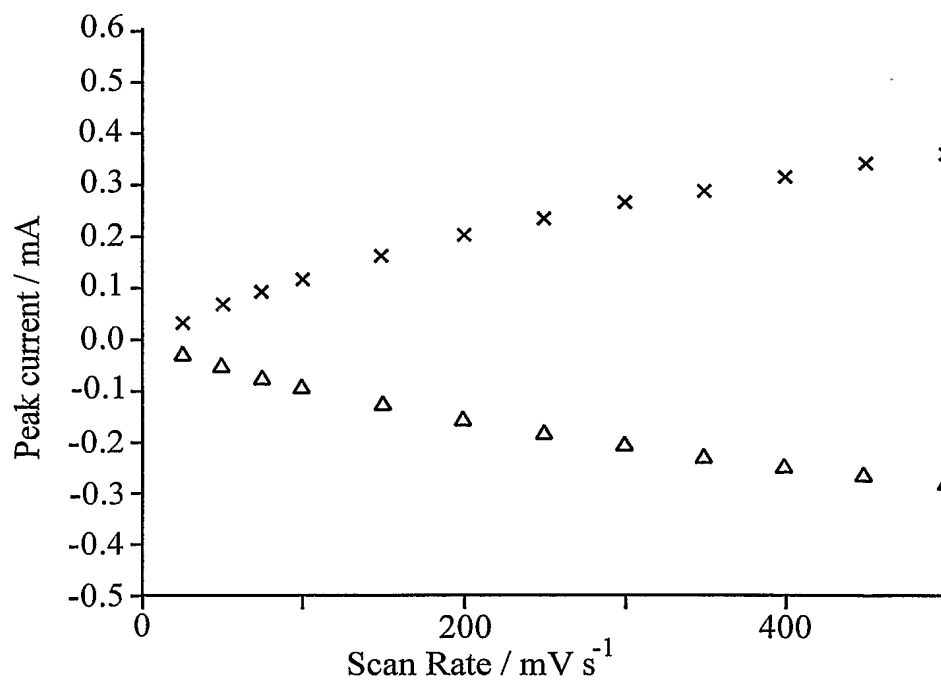


Fig. 37b





33/37

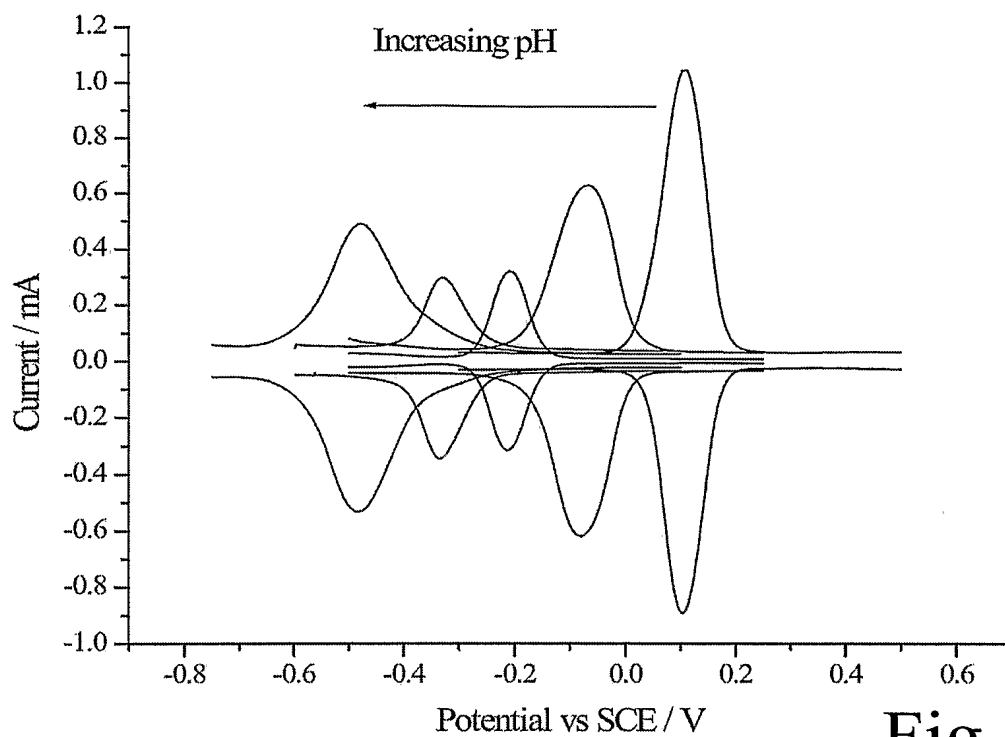


Fig. 38a

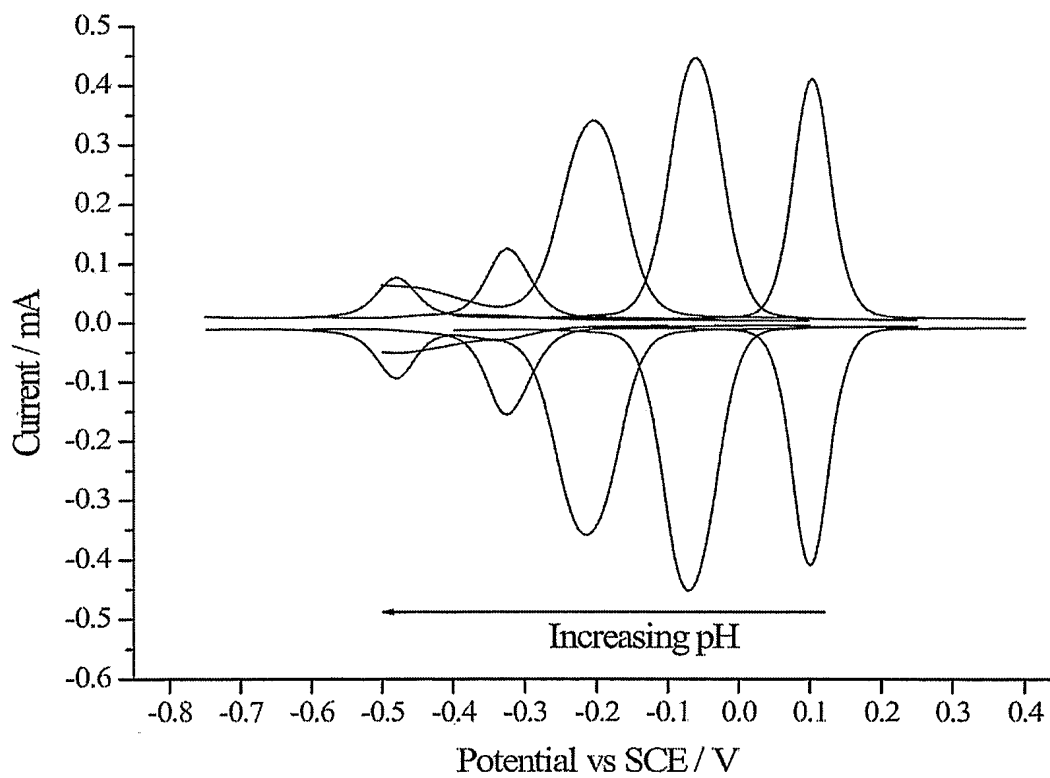


Fig. 38b

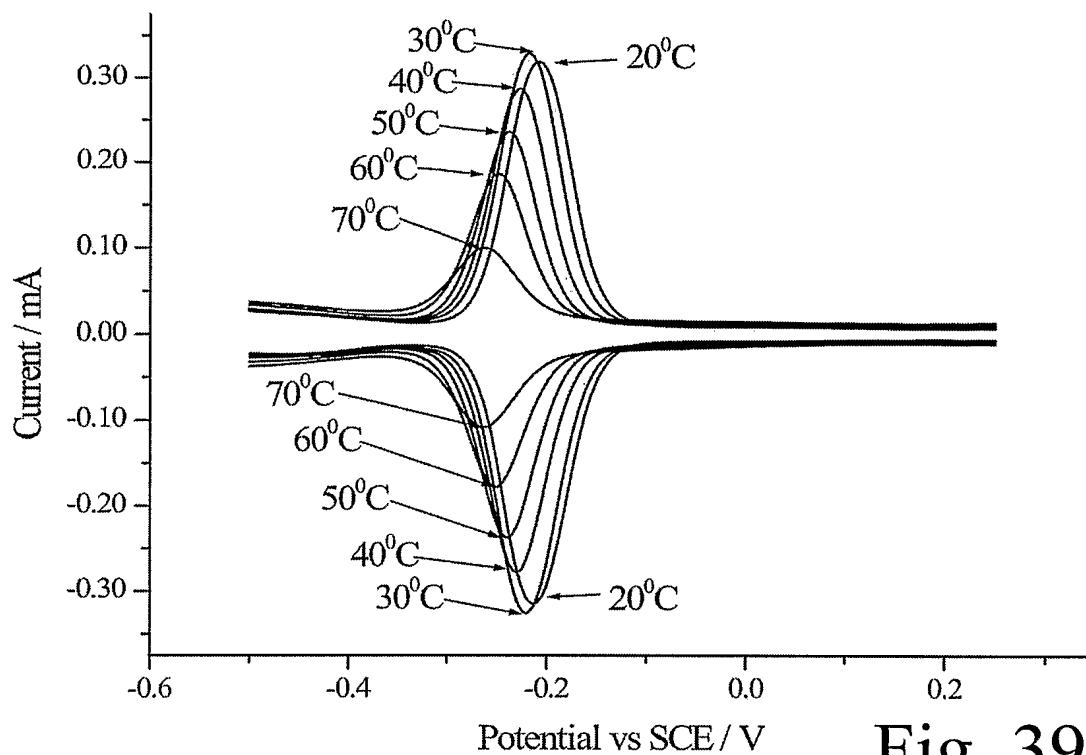


Fig. 39a

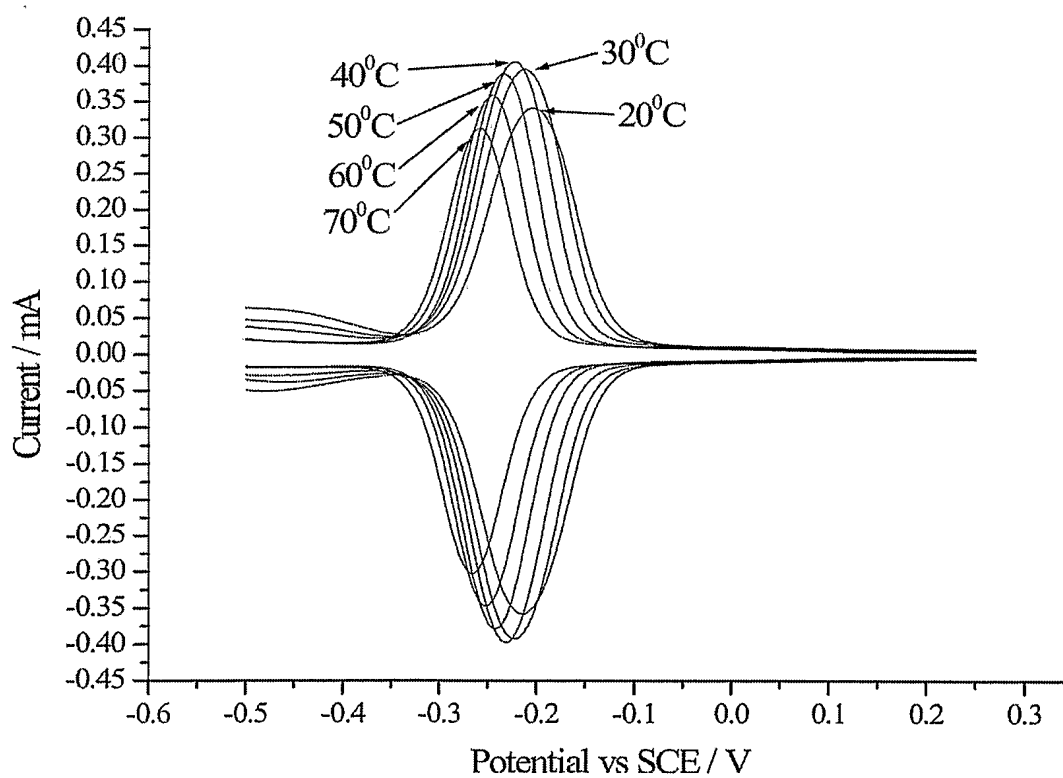


Fig. 39b

35/37

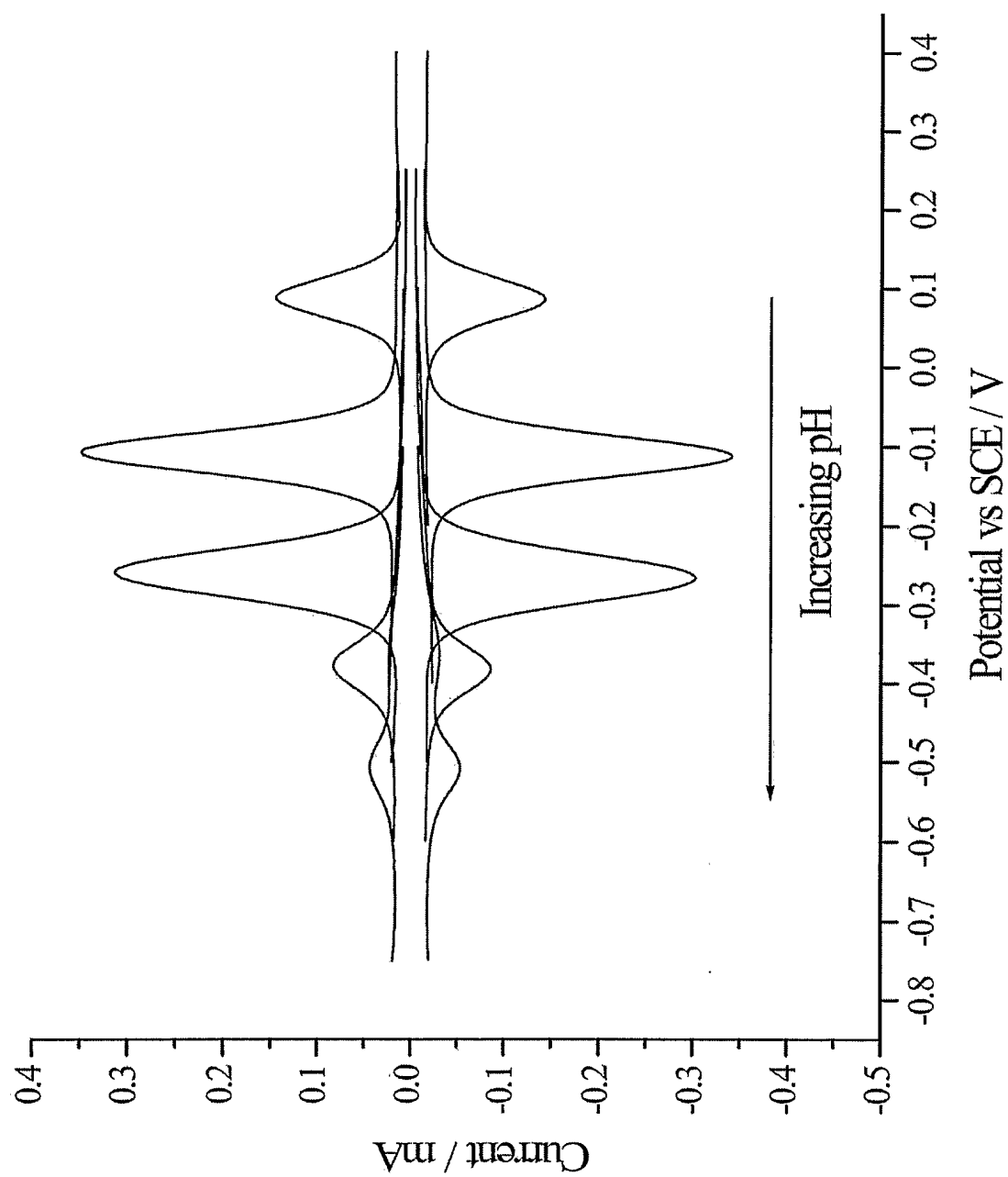


Fig. 40

36/37



Fig. 41



Fig. 42

37/37

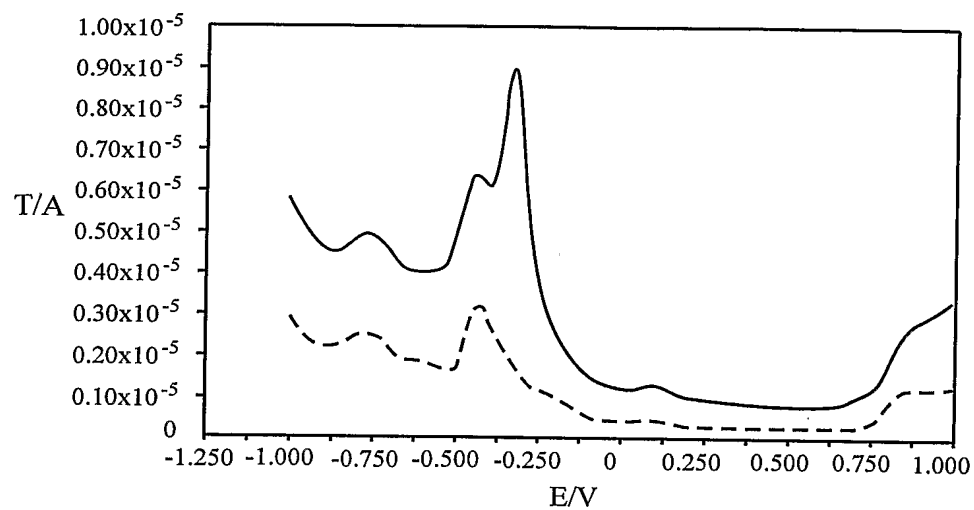


Fig. 43

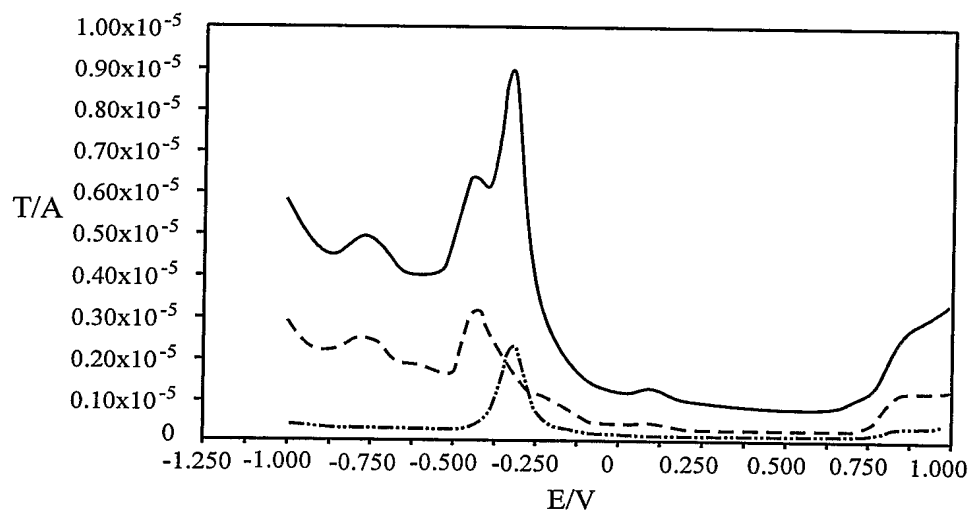


Fig. 44